

МИНИСТЕРСТВО ЗДРАВООХРАНЕНИЯ РОССИЙСКОЙ ФЕДЕРАЦИИ

НАЦИОНАЛЬНЫЙ НАУЧНЫЙ ЦЕНТР НАРКОЛОГИИ

«Утверждаю»

Директор ФБГУ ННЦ Наркологии

Минздрава России профессор, д.м.н.

Е.А.Кошкина

2014 г.

Обнаружения метаболитов синтетических каннабимиметиков в моче  
волосах и сыворотке крови методом газовой хроматографии с  
масс-селективным детектированием

**Информационное письмо**

Москва

2014 г.

## **Введение**

Метод предназначен для качественного определения метаболитов ряда синтетических каннабимиметиков (JWH-018, JWH-073, JWH-210, JWH-250, JWH-251, JWH-203, AB-001, RCS-4, AM-694, AM-2233, UR-144, AKB-48, PB-22, PB-22F, AB-PINACA, AB-FUBINACA) в моче и волосах человека с помощью газовой хромато-масс-спектрометрии. Учитывая быстрое расширение списка продаваемых соединений, метод может быть в дальнейшем модифицирован.

**Организация разработчик:** ФБГУ ННЦ Наркологии Минздрава России совместно с ЦХТЛ 1-го МГМУ им.И.М.Сеченова, ХТЛ наркологических диспансеров г.г. Екатеринбурга, Пскова, Набережных Челнов, Чебоксары, Томска, Кургана, Ярославля, Владимира, Красноярска, Нового Уренгоя, Ноябрьска, Нижневартовска, Сургута и СХО бюро СМЭ г.г. Белгорода, Перми, Набережных Челнов, Челябинска, Салехарда, Ярославля.

**Авторы:** д.х.н. Савчук С.А., к.х.н. Григорьев А.М., к.х.н. Катаев С.С., д.х.н., профессор Б.Н.Изотов, Гофенберг М.А., Скребкова К.А., Гизетдинова Л.А., Мингазов А.А., Никитина Н.М., Васильев А. Б., Мелентьев А. Б., Лабутин А. В., Печников А. Л., Шитов Л. Н.. П., Снятков А. В., Колосова М. В., Самышкина Н. В., Малышкина А. П., Ризванова Л. Н., Подоленко Е. В., Джурко Ю. А..

Версия 1.1.1

## **Сущность метода**

Исследования выполняют методом: газовой хромато-масс-спектрометрии с использованием фиксированных времен удерживания (ФВУ). Метод хромато-масс-спектрометрии (ХМС, ГХ/МС) основан на сочетании двух аналитических методов: капиллярной газовой хроматографии и масс-спектрометрии.

## **Описание метода**

**Оборудование:** газовый хроматограф (Agilent 5890, 6850, 6890, 7890, или подобный) с масс-спектрометром (Agilent 5973, 5975, или подобным).

Колонка: HP-5ms или VF-5ms (Agilent, 30 м × 0.25 мм × 0.25 мкм)\*.

1. Растворители и реагенты (выбираются в зависимости от способов подготовки проб и дериватизации):

- Кислота соляная ( $\geq 30\%$ );
- Натрия гидроксид, водный раствор (50 %);
- Аммиак водный ( $\geq 25\%$ );
- Фосфатный буфер (0.8 М, pH 4.5);
- $\beta$ -глюкуронидаза (HP-2, Sigma-Aldtich) или подобная;
- Хлороформ;
- Этилацетат;
- N,O-бис(триметилсилил)трифторацетамид, содержащий 1 об.%

триметилхлорсилана (BSTFA + 1% TMS);

- Уксусный ангидрид;
- Пиридин;
- Диметилсульфоксид (осушенный);
- Тетраметиламмония гидроксид, раствор в метаноле метаноле (25 об.%);
- Иодометан.

## **2. Подготовка проб мочи и волос для анализа**

2.1. Для определения метаболитов JWH-018, JWH-073, JWH-210, JWH-250, JWH-251, JWH-203, AB-001, RCS-4, AM-694, AM-2233, UR-144\*\*, AKB-48 используют кислотный гидролиз:

К 2.5 мл образца добавляют 0.25 мл соляной кислоты и нагревают при температуре 90 – 95°C в течение часа. После охлаждения доводят pH раствора до 8-9 водным раствором аммиака и экстрагируют 3 мл хлороформа. Затем смесь центрифугируют, отделенный слой хлороформа упаривают в потоке воздуха при температуре не выше 45°C. Сухой остаток растворяют в 50 мкл этилацетата или дериватизируют.

2.2. Кровь, кислотная деконъюгация (для тех же соединений). Образец центрифугируют при 3000 об/мин. К 1 мл сыворотки добавляют 3 мл воды и обрабатывают далее подобно образцам мочи. Сухой остаток силилируют.

2.3. Моча, основная деконъюгация (для PB-22 и PB-22F, PINACA, FUBINACA).

К 2.5 мл образца добавляют 0.13 мл раствора гидроксида натрия и нагревают при температуре 60°C в течение 20 мин. После охлаждения доводят pH раствора до 7 соляной кислотой и экстрагируют 3 мл хлороформа или этилацетата\*\*\*. Затем смесь центрифугируют и отделяют органический слой. Водный слой подкисляют соляной кислотой до pH 1-2 и экстрагируют вторично. Экстракты объединяют и упаривают в потоке воздуха при температуре не выше 45°C. Сухой остаток силилируют.

2.4. Моча, ферментная деконъюгация (для всех соединений).

К 2.5 мл образца добавляют 1 мл фосфатного буфера и 50 мкл β-глюкуронидазы. Смесь тщательно перемешивают и инкубируют при 37°C в течение 3ч. Далее подстраивают pH водной фазы и выполняют те же операции, что и в пп. 2.1 и 2.3 в зависимости от вида определяемого соединения.

**2.5. Волосы, щелочной гидролиз (для PB-22, PB-22F, AB-PINACA, AB-FUBINACA, AB-CHMINACA, 5F-AB-PINACA, FUB-PB22).** Навески 20-100 мг образца волос отмывали в 4 мл метанола с последующим центрифугированием при 4000 об/мин. Метанол удаляли, образец сушили при

комнатной температуре. Затем волосы измельчали до 0,5 мм, добавляли 10 мкл раствора дифениламина в метаноле (внутренний стандарт) и 1 мл 2,5М раствора гидроксида натрия, выдерживали 40 мин при 60°C ультразвуковой ванне 15 мин. После охлаждения раствор нейтрализовали раствором муравьиной кислоты. Гидролизат пропускали через патрон для ТФЭ Bond Elute Sertify.

Кондиционирование картриджа проводили последовательным пропусканием 3 мл метанола, 3 мл 0,1 М фосфатного буфера с pH 6,0. Вносили гидролизат в колонку, промывали водой, пропускали 2 мл 1M раствора уксусной кислоты, высушивали. Элюировали 2 мл смеси гексан : этилацетат (7:1) со скоростью 1-2 мл/мин. Элюат упаривали в токе азота и дериватизировали.

3. **Дериватизация.** Преимущественным способом является триметилсilyлирование\*\*\*.

3.1. Триметилсilyлирование. Выполняют в 50 мкл смеси BSTFA + 1% TMS и этилацетата (1:1) в течение 30 мин при 60°C. После охлаждения смесь вводят в хроматограф.

3.2. Ацетилирование. Выполняют в 100 мкл смеси уксусного ангидрида и пиридина (1:1) в течение 30 мин при 70°C. Далее раствор упаривают досуха при температуре не выше 45°C (возможно использование вакуумного концентратора), остаток растворяют в 50 мкл этилацетата и вводят в хроматограф.

3.3. Метилирование. Этот способ пригоден в основном, для обнаружения дезалкилированных метаболитов. Сухой остаток, полученный после экстракции деконъюгированных образцов растворяют в смеси 200 мкл осуженного диметилсульфоксида и 5 мкл раствора тетраметиламмония гидроксида в метаноле (25 об.%). Смесь перемешивают в течение 2 мин, добавляют 20 мкл иодометана и снова перемешивают в течение 10 мин. К смеси добавляют 2

раствора аммиака (0.1 М) и экстрагируют 3 мл этилацетата. Органический мл водного слоя промывают 2 мл раствора аммиака и упаривают досуха. Остаток растворяют 50 мкл этилацетата и вводят в хроматограф.

### 3.4. Получение пентафторпропионильных производных.

К сухому остатку добавить 50 мкл пентафторпропионового ангидрида (PFPA) и 25 мкл пентафторпропанола (PFPOH), выдерживать 40 мин при 90°C, упарить остаток реагента растворить в 100 мкл этилацетата. 1 мкл в хроматограф.

## 4. Условия проведения газового хромато-масс-спектрометрического определения.

### 4.1. Условия хроматографирования:

- температура инжектора 270°C;
- температура интерфейса 280°C;
- температурные программы работы колонок:

#### Режим 1 (основной)

Oven Ramp	°/min	Next °C	Hold, min
Initial		50	0.5
Ramp 1	99	100	1
Ramp 2	35	300	18

#### Режим 2 (дополнительный, см. Примечания)

Oven Ramp	°/min	Next °C	Hold, min
Initial		50	0.5
Ramp 1	99	100	1
Ramp 2	60	320	13

- режим испарителя – без сброса пробы (splitless);
- режим колонки (газ-носитель гелий) – постоянство давления (constant pressure);
  - объем вводимой пробы – 0.2 мкл. Возможно введение больших объемов, однако, это приводит к сокращению службы колонки.

#### 4.2. Настройки масс-спектрометра:

- режим – сканирование (SCAN);
- диапазон m/z 29-650;
- порог детектирования – 0.

4.3. Процедуру фиксации времен удерживания выполняют по триметилсилильному или ацетатному деривату холестерина – матричному соединению мочи – при температурной программе колонки «Режим 1» (см. ниже). Удерживание дериватов:

- для колонки HP-5ms

холестерина ацетат - 13.13 мин

холестерина триметилсиликат - 12.00 мин

- для колонки VF-5ms

холестерина ацетат - 14.35 мин

холестерина триметилсиликат - 13.05 мин.

Примерное начальное давление в инжекторе 21-23 psi.

#### 5. Качественное определение метаболитов.

Автоматизированное обнаружение выполняют с помощью программы AMDIS в режиме использования индексов удерживания (Use Retention Index Data) с файлом пересчета cseries RTL.cal и выбранной поисковой библиотекой (Cm\_hp5.msp и Cm\_vf5.msp для колонок HP-5ms и VF-5ms, соответственно) при рекомендуемых параметрах:

- Minimum match factor – 40;
- RI window 20 + 0;
- Match factor penalties (Level – Weak, Maximum penalty – 20; No RI in library - 10);

- Low и High m/z – Auto;
- Threshold – Off;
- Component width – 12;
- Adjacent peak subtraction – One;
- Resolution – Medium;
- Sensitivity – Very High;
- Shape requirements – Low;
- Column bleed – 207.

## 2. Состав прилагаемого пакета.

- Библиотека в формате NIST (Cann\_Metab), включая рабочие структуры и линейные индексы удерживания;
- Библиотеки в формате MSP (Cm\_hp5.msp или Cm\_vf5.msp или Pub\_PB\_FUB\_Chm\_all\_v8\_SUDMED\_114\_AMDISLIB\_20141027) с фиксированными временами удерживания (RTL) для колонок HP-5ms и VF-5ms (Agilent, 30 м × 0.25 мм × 0.25 мкм) соответственно;
- Файл пересчета фиксированных времен удерживания (cseries\_RTL.cal) для AMDIS.
- Сводная библиотека масс-спектров SUDMED\_1465 (в форматах AMDIS, ChemStation, NIST, включает многие рабочие структуры и линейные индексы удерживания). Включает спектры метаболитов преимущественно в виде триметилсилильных и метильных дериватов (Приложение 4).

В библиотеки включены только практически значимые аналиты. Структурные формулы, приведенные в библиотеке NIST (Cann\_Metab, SUDMED\_1465), не являются точными. Локализация приобретенных функциональных групп (гидроксильных и карбонильных), а также двойных связей в пределах остатка, как правило, неизвестна. Исключение составляют только карбоксилированные (-M HOOC-) и дезметилированные метаболиты.

Применение режимов для элюирования метаболитов при постоянной скорости потока газа-носителя

Режим 1	Режим 2	
JWH-018	JWH-250	AM-2233
JWH-073	JWH-251	UR-144
JWH-210	JWH-203	AKB-48
	AB-001	PB-22
	AM-694	PB-22F
	RCS-4	

Линейные индексы удерживания (библиотека Cann\_Metab, формат NIST измерены в двух температурных режимах (Режим 1 и Режим 2) при постоянной скорости потока носителя (constant flow, 1 мл/мин). Это объясняется значительным различием удерживания анализов и необходимостью поддерживания достаточной эффективной чувствительности. Температурная зависимость индекса удерживания положительная.

3. Рекомендации по обнаружению.

Синтетические каннабимиметики подвержены очень быстрому и почти полному метаболизму. Содержание их метаболитов максимально в ранних (первых) образцах мочи, отобранных в течение 2-5 часов после приема. Далее концентрация метаболитов быстро снижается (примерно в 10-20 раз для второго отбора мочи через 4-7 часов после приема). Время уверенного обнаружения метаболитов в моче определяется принятой дозой и видом каннабимиметика и составляет примерно 1-3 сут. после приема. Обнаружение метаболитов в сыворотке крови возможно, по-видимому, в течение 5-8 часов после приема.

Поскольку синтетические каннабимиметики обладают различным психофизиологическим действием, то их дозировка в курительных смесях также различается. Это ведет и к вариациям в содержании метаболитов в моче. Поэтому достоверность обнаружения ряда соединений (в первую очередь,

метаболитов JWH-210 и AM-694) обычно невысока. В этом случае рекомендуется пользоваться Режимом 2 и возможно, увеличивать объем вводимой пробы.

### Список литературы

1. Detection of JWH-018 metabolites in smoking mixture post-administration urine. / T. Sobolevsky, I. Prasolov, G. Rodchenkov. Forensic Sci. Int. 2010 200 141-147.
2. Chromatography–Mass Spectrometry Studies on the Metabolism of Synthetic Cannabinoids JWH-018 and JWH-073, Psychoactive Components of Smoking Mixtures / Grigoryev A., Savchuk S., Melnik A., Moskaleva N., Dzhurko J., Ershov M., Nosyrev A., Vedenin A., Izotov B., Zabirova I., Rozhanets V. Journal of Chromatography B. 2011 879 1126-1136.
3. Установление факта приема синтетического каннабиноида JWH-018 хромато-масс-спектрометрическими методами / Григорьев А.М., Савчук С.А., Мельник А.А., Ершов М.Б., Джурко Ю.А., Веденин А.Н., Носырев А.Е., Изотов Б.Н., Рожанец В.В. Журн. аналит. химии 2012 67 995-1004.
4. Gas and liquid chromatography–mass spectrometry studies on the metabolism of the synthetic phenylacetylindole cannabimimetic JWH-250, the psychoactive component of smoking mixtures / Grigoryev A., Savchuk S., Melnik A., Simonov A., Rozhanets V. Journal of Chromatography B. 2011 879 2519-2526.
5. The detection of the urinary metabolites of 1-[(5-fluoropentyl)-1H-indol-3-yl]-(2-iodophenyl)methanone (AM-694), a high affinity cannabimimetic, by gas chromatography – mass spectrometry Grigoryev A., Kavanagh P., Melnik A. / Drug Testing and Analysis 2012 DOI 10.1002/dta.1336
6. The identification of the urinary metabolites of 3-(4-methoxybenzoyl)-1-pentylindole (RCS-4), a novel cannabimimetic, by gas chromatography/mass spectrometry / Kavanagh P., Grigoryev A., Melnik A., Simonov A. Journal of Analytical Toxicology 2012 36 303-311.

7. The detection of the urinary metabolites of 3-[(adamantan-1-yl)carbonyl]-1-pentylindole (AB-001), a novel cannabimimetic, by gas chromatography-mass spectrometry / Grigoryev A., Kavanagh P., Melnik A. Drug Testing and Analysis 2011 DOI: 10.1002/dta.350

8. UR-144 in products sold via the Internet: Identification of related compounds and characterization of pyrolysis products. / Kavanagh P., Grigoryev A., Savchuk S., Mikhura I., Formanovsky A. Drug Testing and Analysis 2013 DOI: 10.1002/dta.1456

9. Обнаружение психоактивного компонента курительных смесей СР47,497 (С8) в моче методом хромато-масс-спектрометрии / Григорьев А.М., Мельник А.А., Савчук С.А., Божко Е.С. Сорбционно-хроматографические процессы.

10. Синтетические каннабиноиды в растительных смесях «Spice». Идентификация метаболитов JWH-018 как маркеров употребления в биологических жидкостях крыс и человека / Изотов Б.Н., Савчук С.А., Григорьев А.М., Мельник А.А., Носырев А.Е., Джурко Ю.А., Забирова И.Г., Суркова Л.А., Листвина В.П., Самойлик Л.В., Рожанец В.В. Наркология 2011 №2 73-83.

11. Хромато-масс-спектрометрическая идентификация метаболитов синтетического каннабимиметика JWH-250 в биологических жидкостях человека и крыс / Григорьев А.М., Мельник А.А., Савчук С.А., Симонов А.Б., Изотов Б.Н., Носырев А.Е., Рожанец В.В. Наркология 2012.

12. Обнаружение метаболитов синтетических каннабимиметиков в биологических объектах. / Григорьев А.М., Савчук С.А., Джурко Ю.А., Мельник А.А., Симонов А.Б., Рожанец В.В. // В сб. "Актуальные вопросы судебно-химических и химико-токсикологических исследований", Материалы межрегиональной научно-практической конференции. Екатеринбург, 2011 г. С. 42-49.

13. Установление маркеров приема и характеристики основных метаболитов "синтетических каннабиноидов" JWH-018, JWH-073, JWH-250 и

СР-47,497 С8 хромато-масс-спектрометрическими методами. / Григорьев А.М., Веденин А.Н., Савчук С.А., Мельник А.А., Ершов М.Б., Джурко Ю.А., Симонов А.Е., Носырев А.Е., Изотов Б.Н., Рожанец В.В. / В сб. "Современные вопросы судебно-медицинской науки и практики". Материалы научно-практической конференции, посвященной 85-летию образования судебно-медицинской службы Свердловской области и 75-летию кафедры судебной медицины Уральской государственной медицинской академии. Екатеринбург, 2010. С. 229-239.

14. Хромато-масс-спектрометрический анализ в наркологической и токсикологической практике / Савчук С.А., Григорьев А.М. М.: URSS, 2013, 224 с.

15. Shevyrin V., Melkozerov V., Nevero A., Eltsov O., Shafran Yu. Analytical characterization of some synthetic cannabinoids, derivatives of indole-3-carboxylic acid // Forensic Sci. Int. – 2013.–Vol. 232. – P. 1-10.

16. Uchiyama N., Matsuda S., Kawamura M., Kikura-Hanajiri R., Goda Y. Two new-type cannabimimetic quinolinyl carboxylates, QUPIC and QUCHIC, two new cannabimimetic carboxamide derivatives, ADB-FUBINACA and ADBICA, and five synthetic cannabinoids detected with a thiophene derivative a-PVT and an opioid receptor agonist AH-7921 identified in illegal products // Forensic Toxicol. – 2013. – Vol. 31. – P. 223–240.

17. Uchiyama N., Matsuda S., Wakana D., Kikura-Hanajiri R., Goda Y. New cannabimimetic indazole derivatives, N-(1-amino-3-methyl-1-oxobutan-2-yl)-1-pentyl-1H-indazole-3-carboxamide (AB-PINACA) and N-(1-amino-3-methyl-1-oxobutan-2-yl)-1-(4-fluorobenzyl)-1H-indazole-3-carboxamide (AB-FUBINACA) identified as designer drugs in illegal products // Forensic Toxicol. – 2013. – Vol. 31. – P. 93–100.

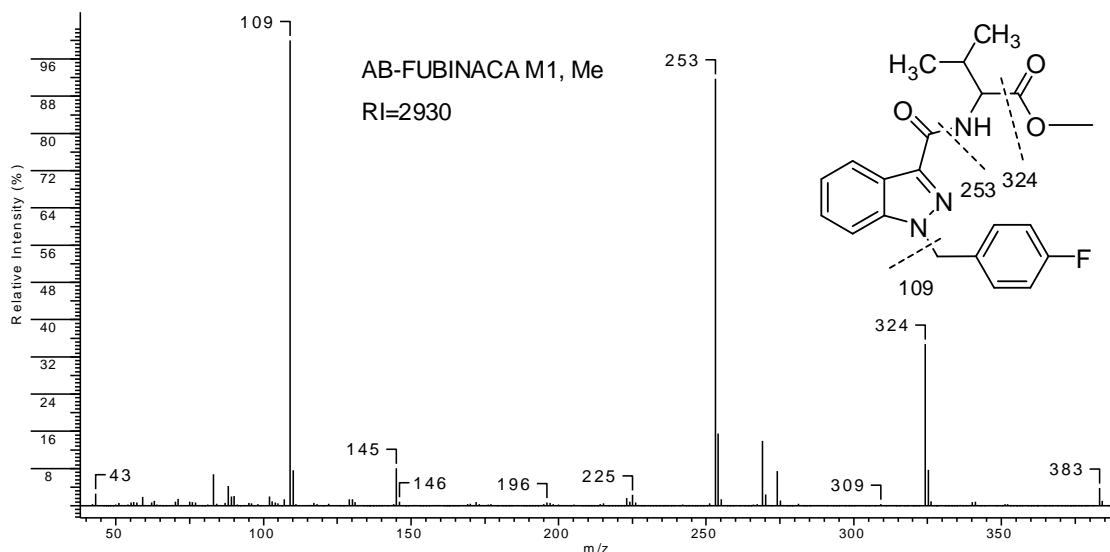
18. Катаев С.С., Зеленина Н.Б., Дворская О.Н. Идентификация маркеров каннабимиметиков РВ-22 и РВ-22F в моче методом ГХ-МС // Бутлеровские сообщения. – 2013. – Т.34.– №4. – С. 116 – 122.

19. Катаев С.С., Зеленина Н.Б., Дворская О.Н. Идентификация метаболитов каннабимиметика AB-PINACA в моче методом ГХ-МС // Бутлеровские сообщения. – 2013. – Т.35. – №9. – С. 131 – 138.
20. Савчук С.А., Никитина Н.М., Зулаева А.С., Несмеянова Н.И., Константинова С.Д. Применение методов ГХ-МС и ВЭЖХ-МС/МС для определения наркотических веществ в волосах // Наркология. – 2012. – №10. – С. 72-79.
21. Шевырин В.А., Мелкозеров В.П., Моржерин Ю.Ю. Идентификация и аналитические характеристики двух новых синтетических каннабиноидов - производных индазола // Бутлеровские сообщения. – 2012. – Т.30. – №4. – С.93-98.
22. Савчук С.А., Гоффенберг М.А., Никитина Н.М., Надеждин А.В., Тетенова Т.Ю. Определение маркеров синтетических каннабимиметиков PB-22, PB-22F, AB-PINACA, AB-FUBINACA в волосах и моче методом ГХ-МС. Наркология №11 2013 с.60-66

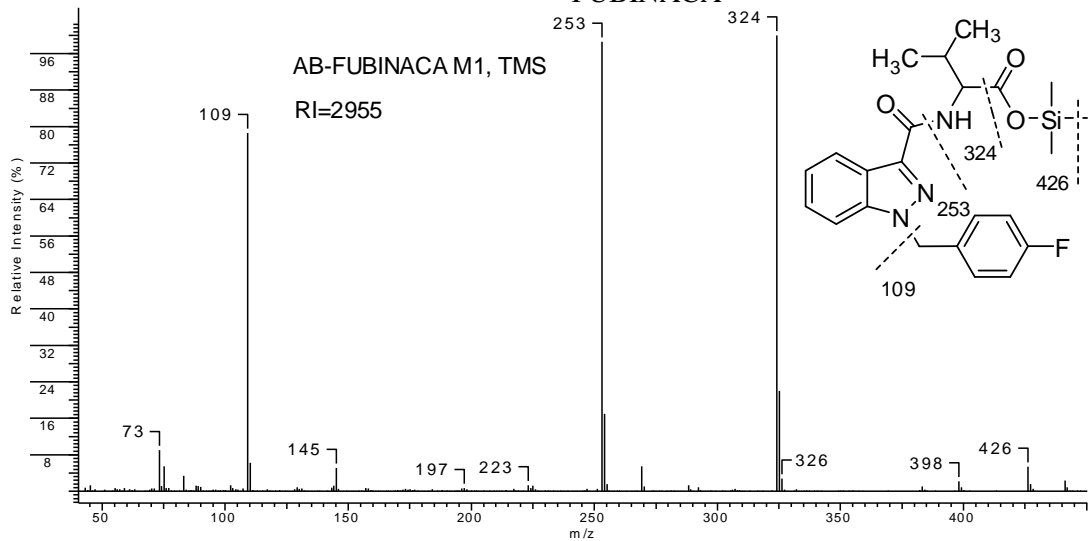
## **Приложение 1.**

Мелентьев А. Б., Катаев С. С., Дворская О. Н., Лабутин А. В. Идентификация маркеров каннабимиметика AB-FUBINACA в моче методом ГХ-МС. Бутлеровские сообщения. 2013. Т.36. №11. С.111-118.

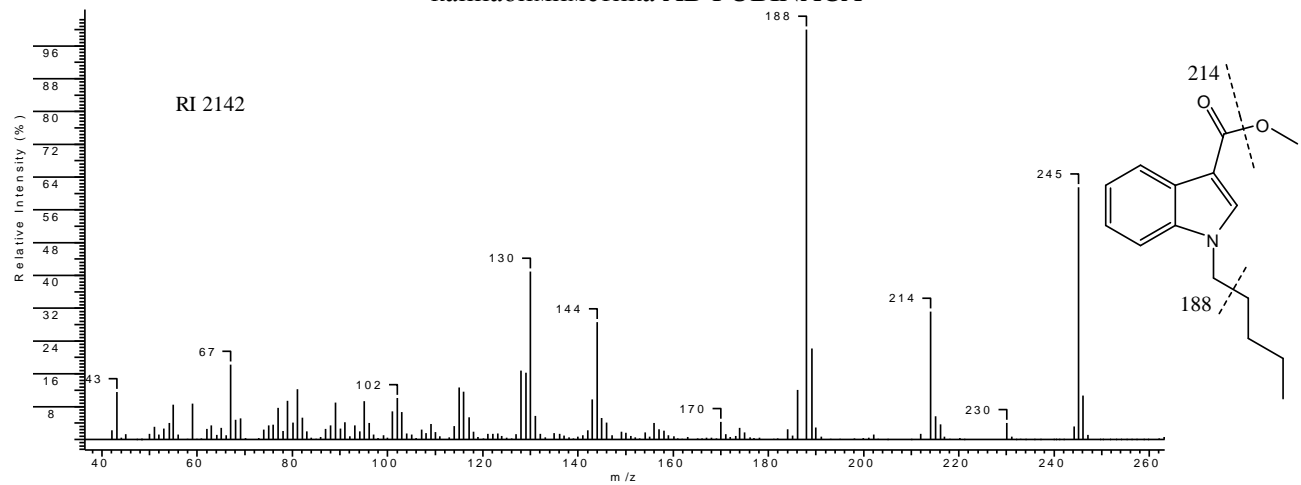
Катаев С. С., Дворская О. Н. Идентификация метаболитов каннабимиметика FUB-PB-22 в моче. Бутлеровские сообщения. 2013. Т.36. №12. С.15-21.



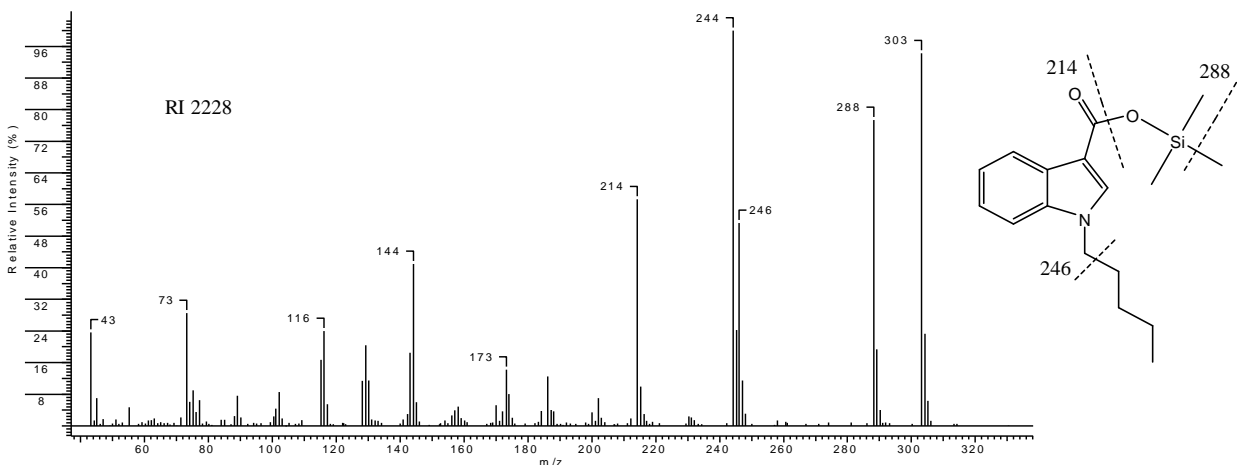
**Рис.** Масс-спектр, индекс удерживания и структура метилового эфира маркера каннабимиметика AB-FUBINACA



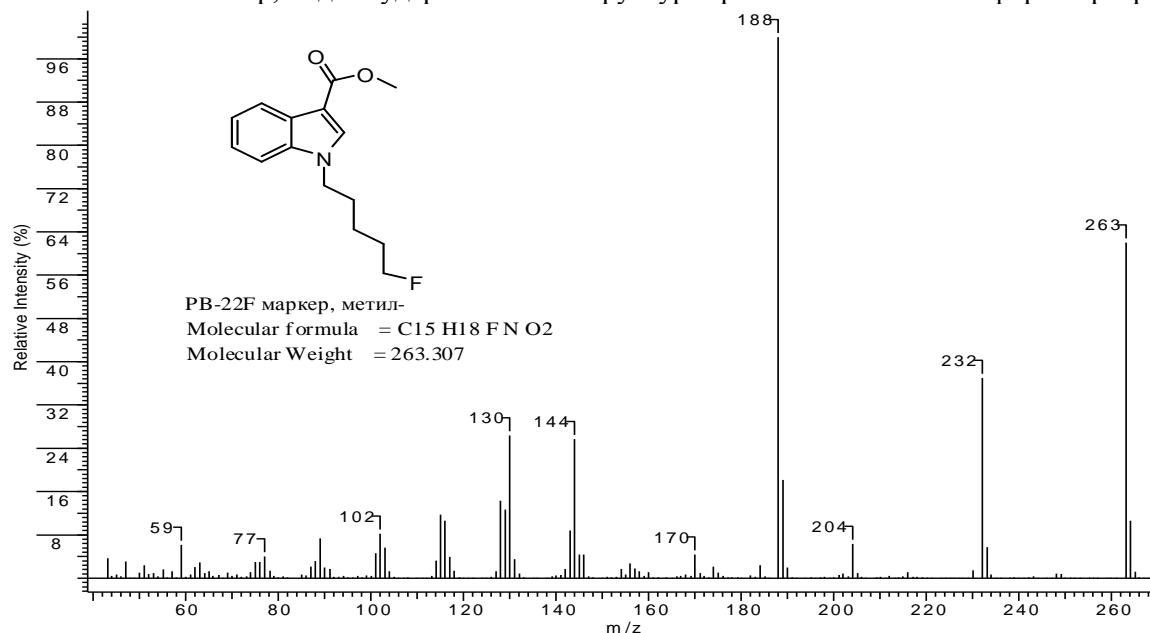
**Рис.** Масс-спектр, индекс удерживания и структура триметилсилилового эфира маркера каннабимиметика AB-FUBINACA



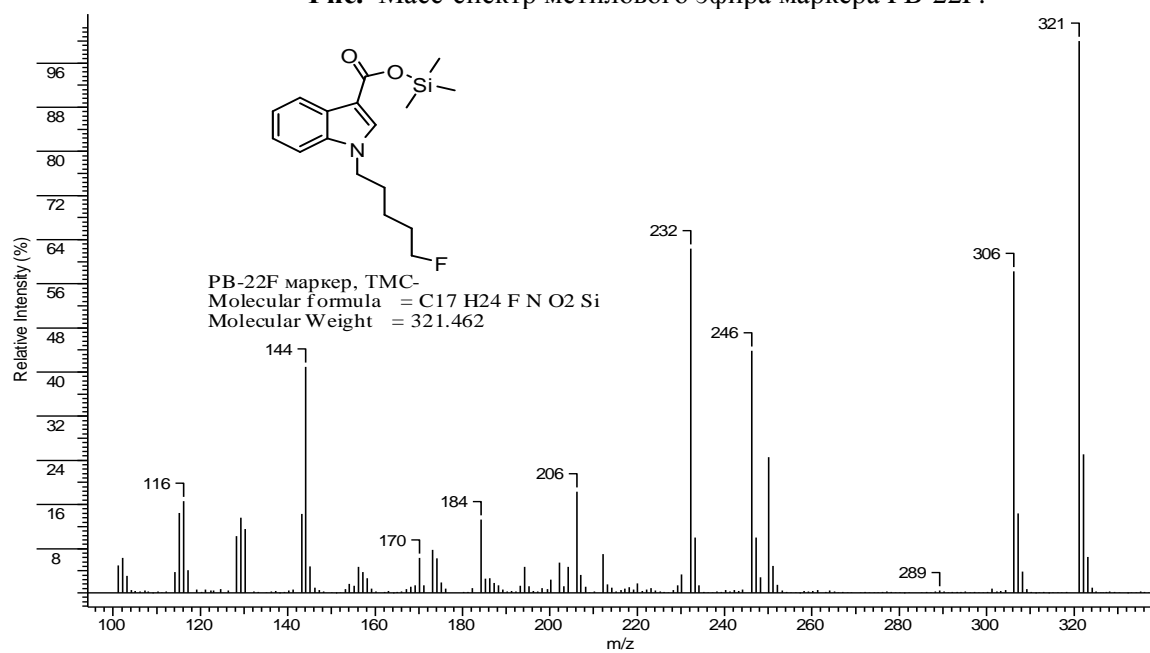
**Рис.** Масс-спектр, индекс удерживания и структура метилового эфира маркера PB-22.



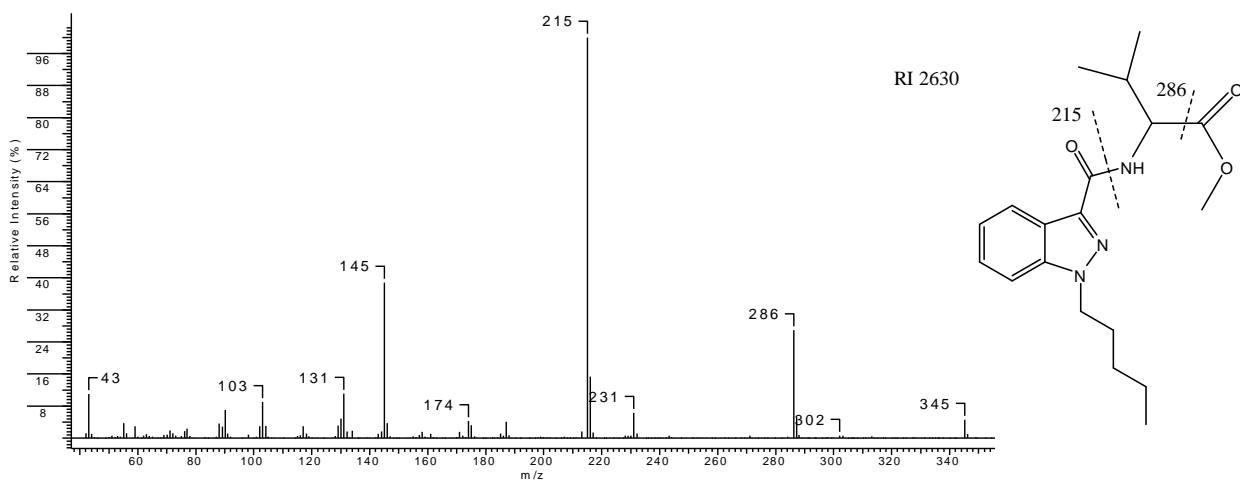
**Рис.** Масс-спектр, индекс удерживания и структура триметилсилилового эфира маркера PB-22.



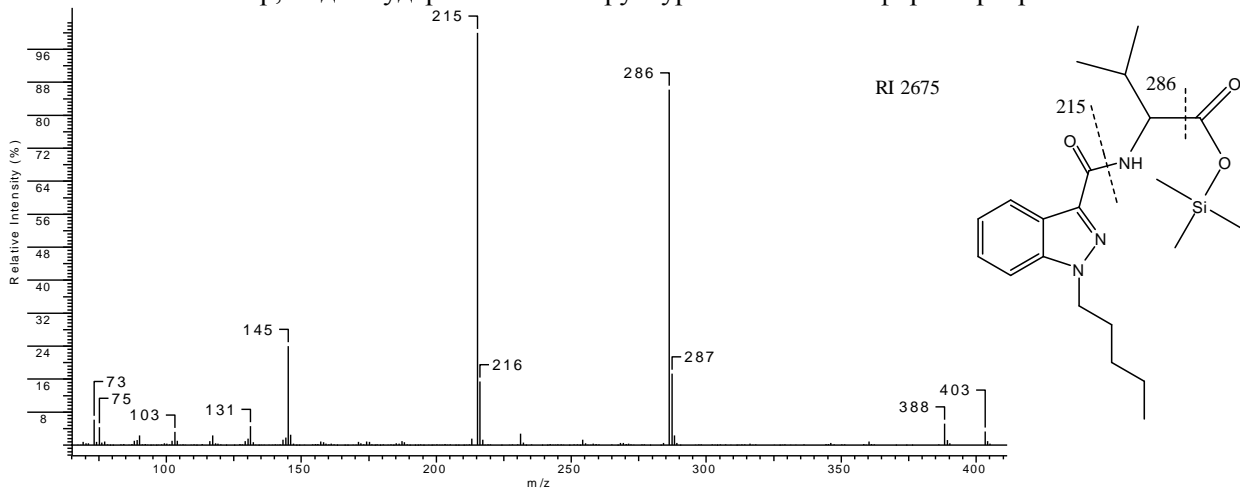
**Рис.** Масс-спектр метилового эфира маркера PB-22F.



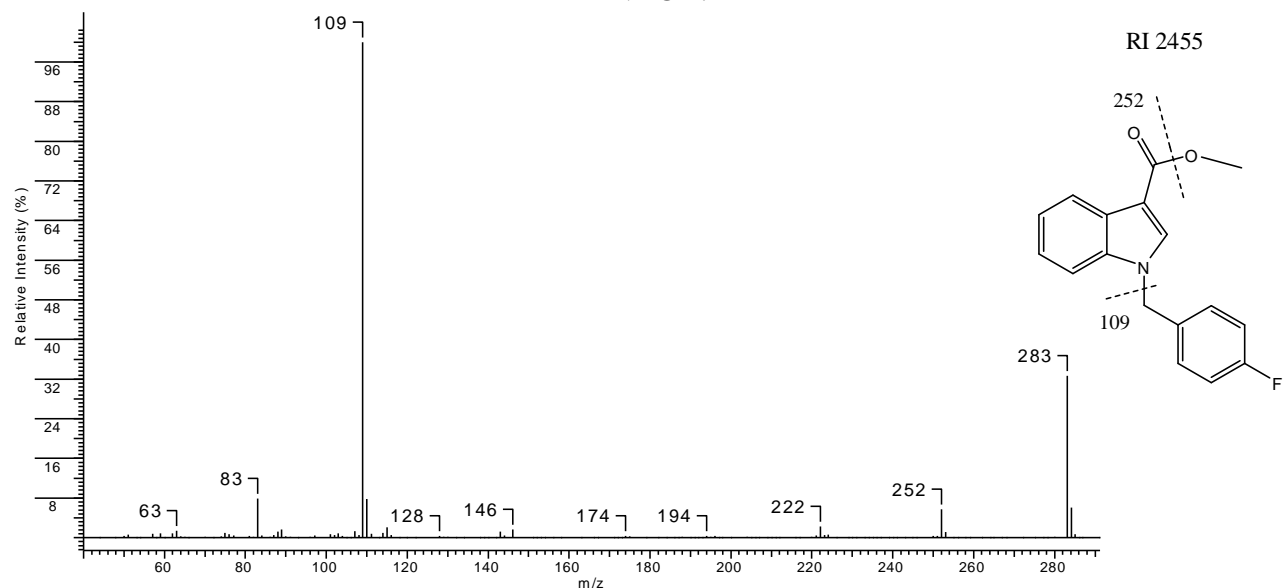
**Рис.** Масс-спектр триметилсилилового эфира маркера PB-22F



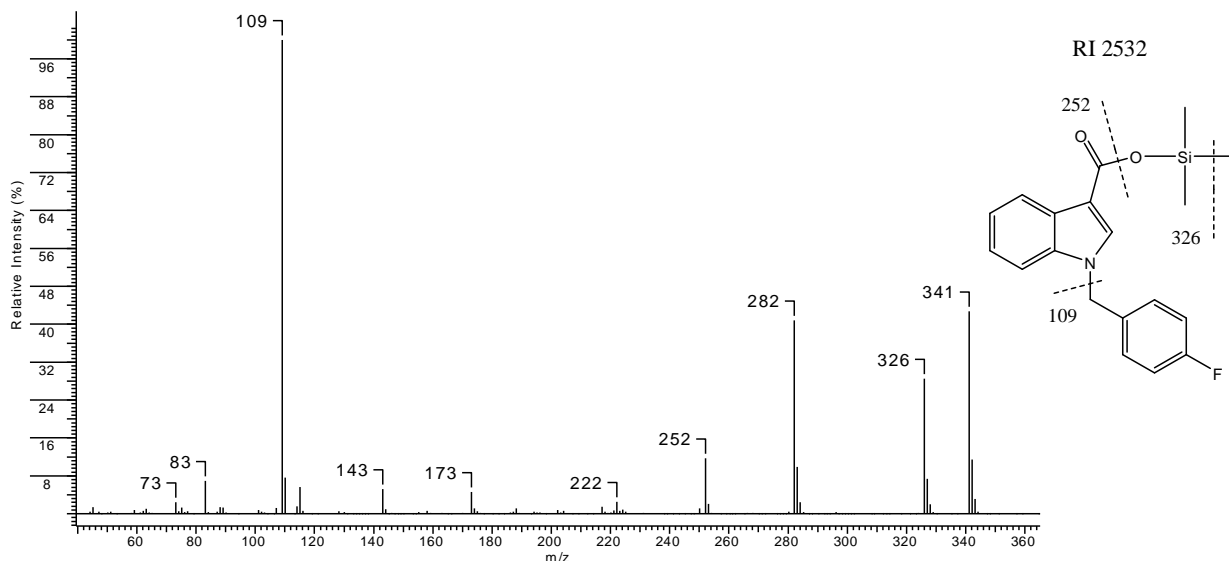
**Рис.** Масс-спектр, индекс удерживания и структура метилового эфира маркера AB-PINACA.



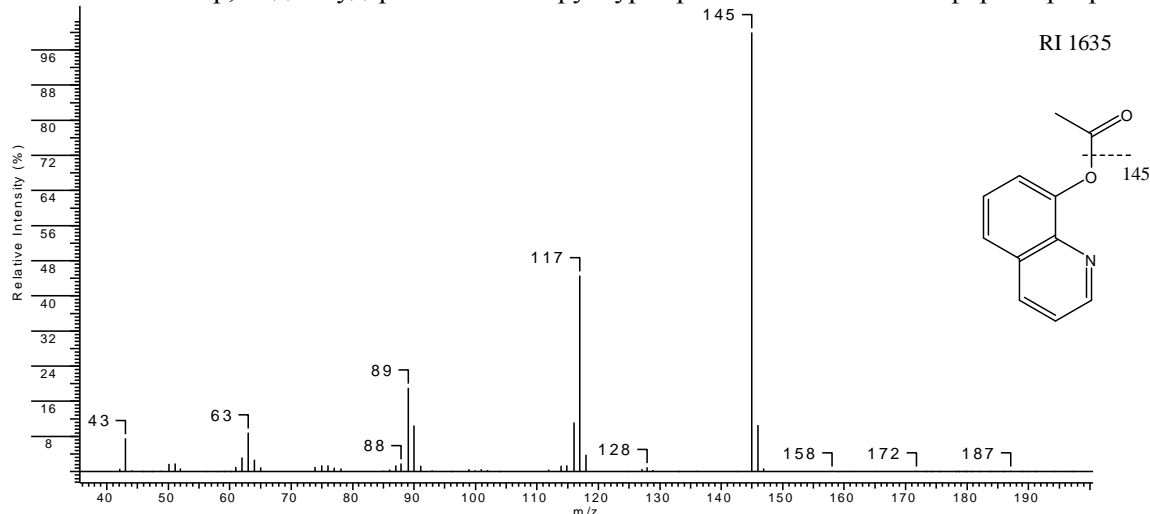
**Рис.** Масс-спектр, индекс удерживания и структура триметилсilyлового эфира маркера AB-PINACA.



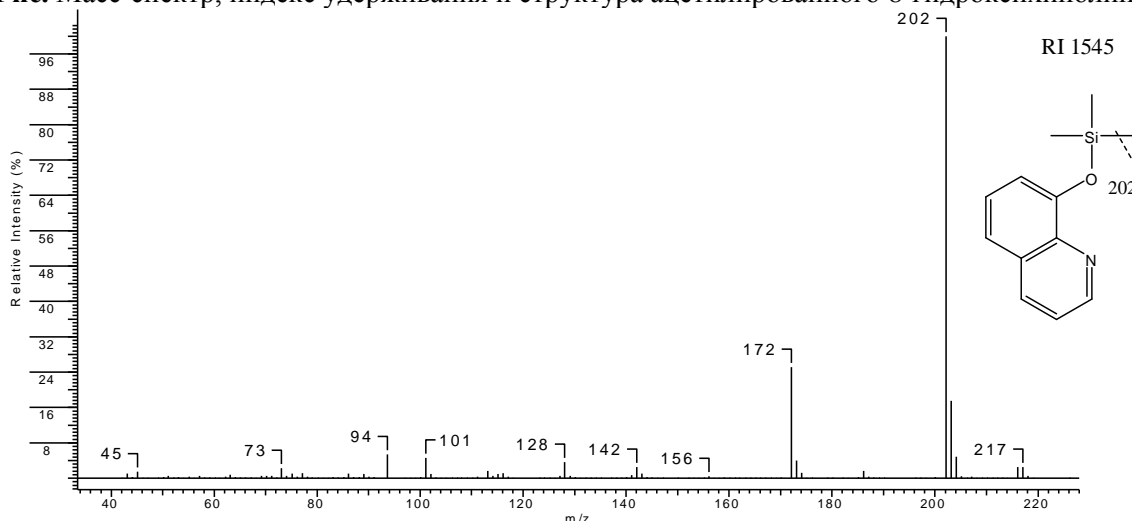
**Рис.** Масс-спектр, индекс удерживания и структура метилового эфира маркера FUB-PB-22.



**Рис.** Масс-спектр, индекс удерживания и структура триметилсilyлового эфира маркера FUB-PB-22.



**Рис.** Масс-спектр, индекс удерживания и структура ацетилированного 8-гидроксихинолина.



**Рис.** Масс-спектр, индекс удерживания и структура триметилсilyлового эфира 8-гидроксихинолина

Метиловый эфир маркера	туд, мин	Индекс удерживания
PB-22	11,35	2142

PB-22F	11,88	2261
FUB-PB-22	12,66	2347
AB-PINACA	13,53	2630
AB-FUBINACA	15,53	2930

ТМС эфир маркера	туд, мин	Индекс удерживания
PB-22	11,74	2228
PB-22F	12,22	2340
FUB-PB-22	12,66	2455
AB-PINACA	13,76	2675
AB-FUBINACA	15,77	2955

8-OX, ТМС	8,21	1545
8-OX, Ac	8,72	1630

## Приложение 2.

### **Определение маркеров синтетических каннабимиметиков PB-22, PB-22F, AB-PINACA, AB-FUBINACA в волосах и моче методом ГХ-МС**

<sup>1</sup> Савчук С.А., <sup>2</sup> Гоффенберг М.А., <sup>3</sup> Никитина Н.М., <sup>1</sup> Надеждин А.В., <sup>1</sup> Тетенова Т.Ю.

<sup>1</sup> ННЦ наркологии МЗ, Москва.

<sup>2</sup> ХТЛ наркологического диспансера г. Екатеринбург.

<sup>3</sup> ХТЛ наркологического диспансера Псковской области.

Рост потребления курительных смесей в последнее время становится одной из серьёзных социальных проблем. Растущий спрос потребителей на психоактивные вещества формирует предпосылки для постоянного расширения ассортимента синтетических каннабимиметиков. Несовершенство законодательства в вопросах контроля новых субстанций даёт латентный период для временного оборота веществ, не подпадающих под запрет. Вещества, внесенные в списки наркотических средств и психотропных веществ, уходят с рынка, а на их место поступают новые, не контролируемые законодательством [0, 0, 0, 0].

С середины 2012 года массовое распространение на территории России и за рубежом получили синтетические каннабимиметики, представляющие собой сложные эфиры N-алкильных производных индол-3-карбоновой кислоты и 8-оксихинолина (PB-22, PB-22F), а также производные индазол-3-карбоксамида, содержащие карбамоилпропильную группировку (AB-PINACA, AB-FUBINACA) [0, 0]. Постановлениями Правительства РФ №580 от 10.07.2013 и №788 от 09.09.2013 данные соединения отнесены к списку I Перечня наркотических средств, оборот которых запрещен в РФ.

В связи с быстрым изменением ассортимента дизайнерских наркотиков обнаружение и идентификация метаболитов и маркеров синтетических каннабимиметиков в биоматериале представляет собой сложную аналитическую задачу. Моча является наиболее простым биообъектом для анализа наркотических веществ вследствие низкого содержания белковых компонентов. Использование волос в качестве объекта анализа на наркотические вещества

имеет ряд преимуществ перед исследованием традиционных объектов анализа, таких как наиболее долгое удерживание попавших в организм человека токсикантов, легкодоступность для корректного отбора и исследования, стабильность образцов [0].

**Цель нашей работы** – идентификация метаболитов синтетических каннабимиметиков PB-22, PB-22F, AB-PINACA, AB-FUBINACA в волосах и моче потребителей курительных смесей с применением твердофазной экстракции (ТФЭ) и газовой хроматографии с масс-селективным детектированием (ГХ-МС).

### **Материалы и методы исследования**

Биологический материал был получен у лиц, которые рекрутировались для этого исследования посредством деятельности специализированного интернет-сайта, оказывающего информационно-профилактические услуги потребителям наркотиков. Все они сообщили о фактах потребления (курения) синтетических каннабиноидов («спайсы», «курительные смеси», «легальные миксы») в течение последних нескольких месяцев. Пять человек на протяжении нескольких месяцев ежедневно курили только синтетические каннабиноиды, один – курил марихуану и периодически «спайсы». Индивидуально для каждого обследованного эти сведения отражены в Таблице 1. Частота курения преимущественно составляла 1-2 раза в день, у двух пациентов кратность курения достигала 3-5 раз в сутки.

Для химико-токсикологического исследования волосы срезались максимально близко к корню с теменной, затылочной височных областей волосистой части головы в количестве примерно 30-40 шт. Процедура забора мочи была стандартной, в стерильный пластиковый контейнер набиралось не менее 20 мл мочи.

Каждый участник был проинформирован о характере исследования образцов биологических сред с обязательным оформлением письменного добровольного согласия.

### **Подготовка проб**

Подготовка образцов мочи включала щелочной гидролиз, твердофазную экстракцию на картриджах Bond Elute Sertify и дериватизацию сухого остатка BSTFA, содержащего 1% TMS.

Навески 50-100 мг каждого образца волос отмывали в 4 мл метанола с последующим центрифугированием при 4000 об/мин. Метанол удаляли, образец сушили при комнатной температуре. Затем волосы измельчали до 0,5 мм, добавляли 10 мкл раствора дифениламина в метаноле (внутренний стандарт) и 1 мл 2,5M раствора гидроксида натрия, инкубировали 40 мин при 60°C, затем выдерживали в ультразвуковой ванне 15 мин. После охлаждения раствор нейтрализовали раствором муравьиной кислоты. Гидролизат пропускали через патрон для ТФЭ Bond Elute Sertify.

Кондиционирование картриджа проводили последовательным пропусканием 3 мл метанола, 3 мл 0,1 М фосфатного буфера с pH 6,0. Вносили гидролизат в колонку, промывали водой, пропускали 2 мл 1M раствора уксусной кислоты, высушивали. Элюировали 2 мл смеси гексан : этилацетат (7:1) со скоростью 1-2 мл/мин. Элюат упаривали в токе азота и дериватизировали пентафтторпропионовым ангидридом.

### **ГХ-МС анализ**

Скрининговый анализ выполняли на хроматографе с масс-селективным детектором Agilent 7820/5975 Маэстро с капиллярной кварцевой колонкой HP-5MS (длина 30,0 м, диаметр 250 мкм, толщина пленки фазы 0,25 мкм).

#### **Условия анализа**

Газ-носитель - гелий, скорость потока через колонку 1,3 мл/мин. Программа: 50°C (0,5мин), 70°C/мин, 100°C (0,8мин), 15°C/мин, 280°C (30 мин). Время удерживания дифениламина (ВС) 8,98 мин.

#### **Условия масс-спектрометрического детектирования**

Анализ проводили в режиме сканирования по полному ионному току (SCAN);

температура источника ионов 230°C; температура анализатора 150°C; диапазон масс m/z 41-650 а.е.м.; Напряжение на умножителе: результат, полученный при автоматической настройки по перфторбутиламину в режиме ATUNE +100 кВ.

Идентификацию веществ выполняли веществ в режиме автоматической AMDIS идентификации по фиксированным временам удерживания.

### Результаты и обсуждение

На первом этапе идентифицировали метаболиты каннабимиметиков в моче, на втором этапе определяли метаболиты и нативные каннабимиметики в волосах методом газовой хромато-масс-спектрометрии. Также проводили подтверждающий анализ методом ВЭЖХ-МС/МС. Результаты будут представлены в следующей публикации.

**Идентификация метаболитов каннабимиметиков в моче.** Структуры метаболитов и маркеров каннабимиметиков определяли на основании масс-фрагментации выявленных пиков на хроматограммах, полученных при исследовании проб мочи, и исходя из литературных данных по масс-фрагментации PB-22, PB-22F, AB-PINACA [0, 0, 0, 0].

На хроматограммах экстрактов мочи были идентифицированы следующие соединения (рис.1-4).

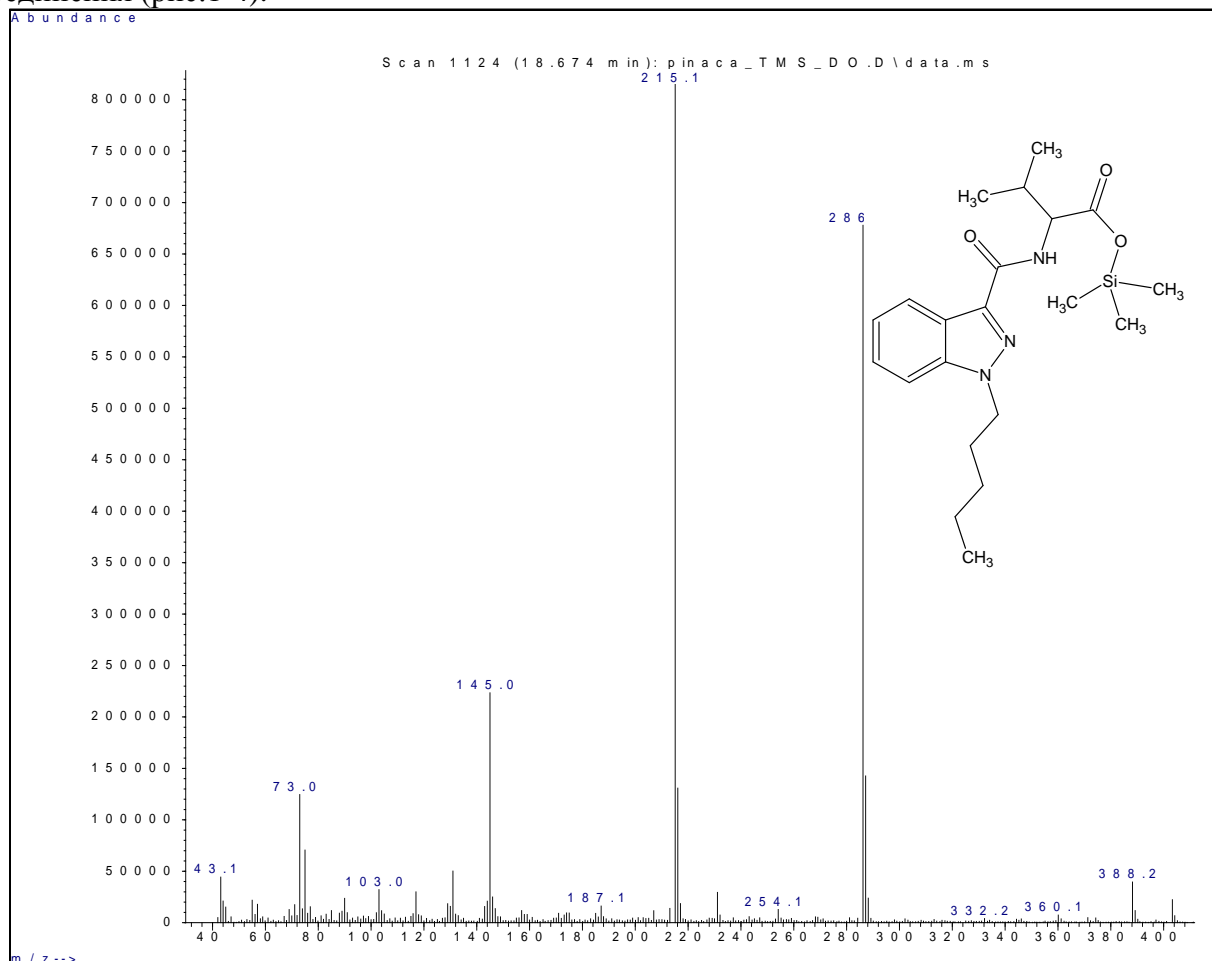


Рис. 1. Образец мочи, содержащий AB-PINACA-M1

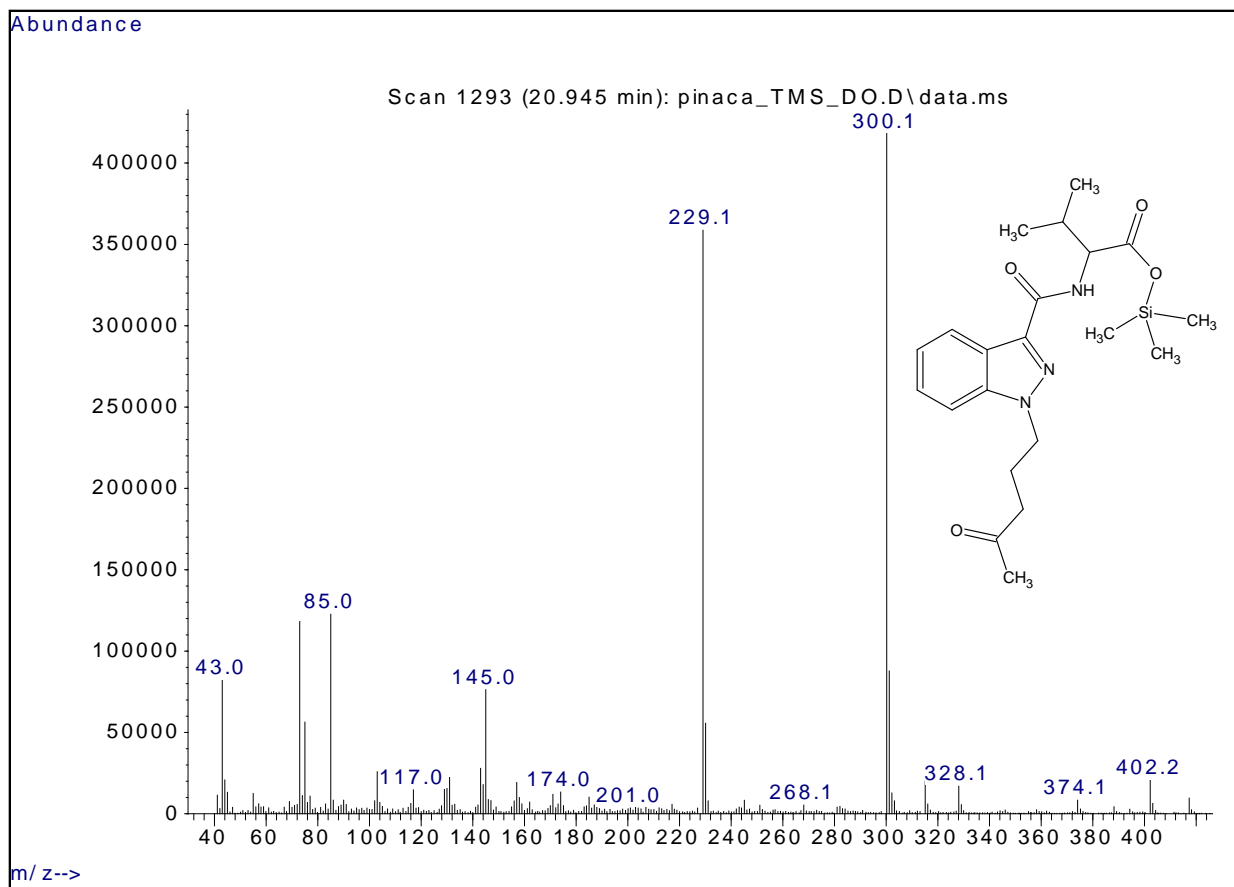


Рис. 2. Образец мочи, содержащий AB-PINACA-M2

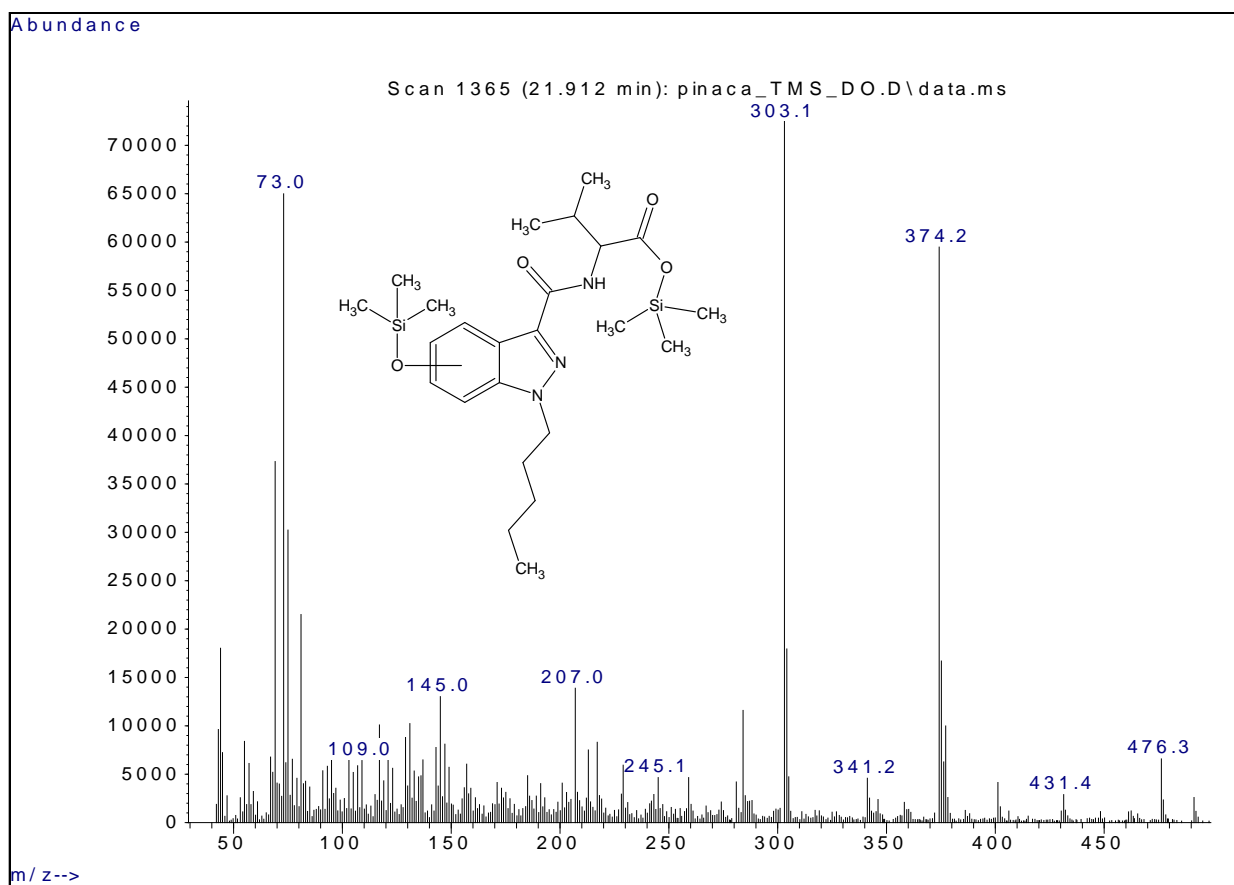


Рис. 3. Образец мочи, содержащий AB-PINACA-M3

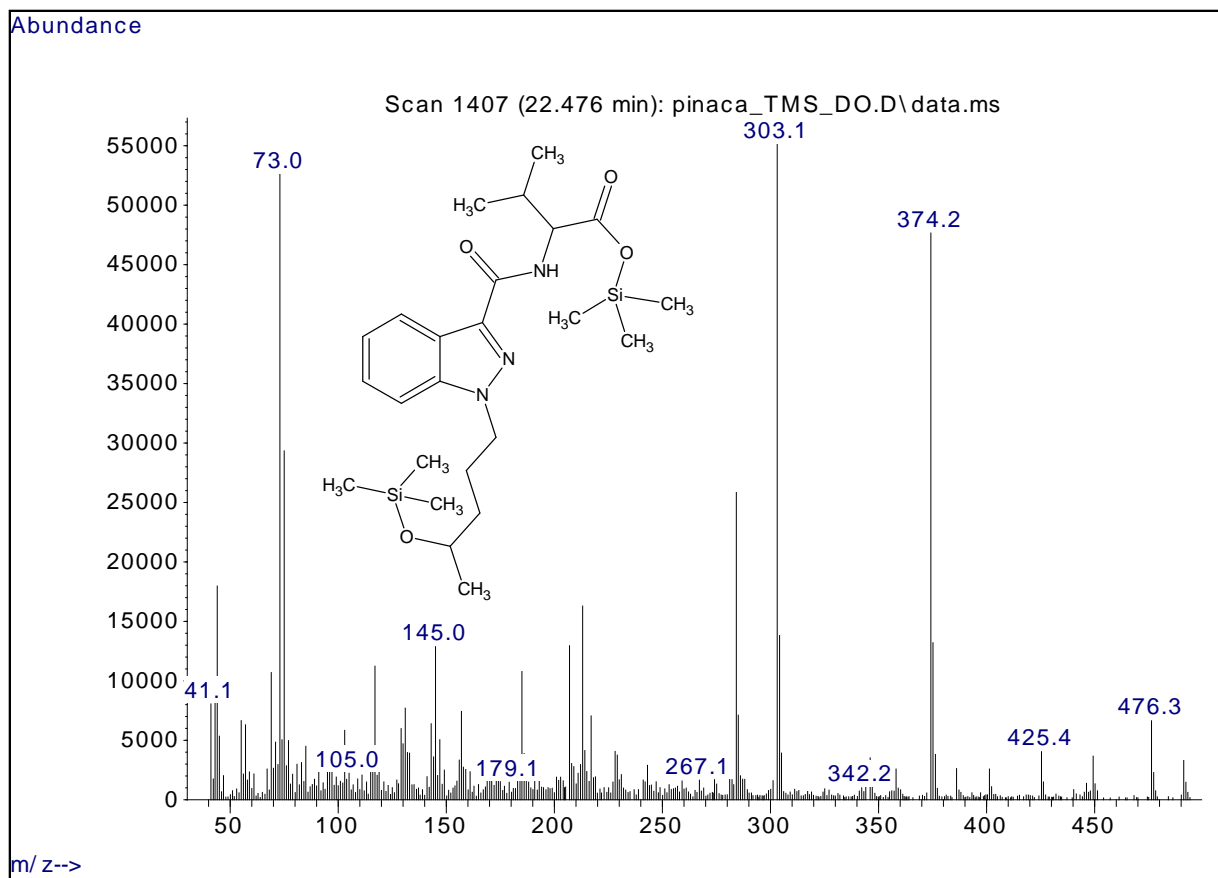


Рис. 4. Образец мочи, содержащий AB-PINACA-M4

В образце мочи №4 кроме метаболитов AB-PINACA-M1 и AB-PINACA-M2 (рис.5,6), что подтверждалось литературными данными [0], были также обнаружены и идентифицированы производные метаболитов AB-FUBINACA (рис. 7,8).

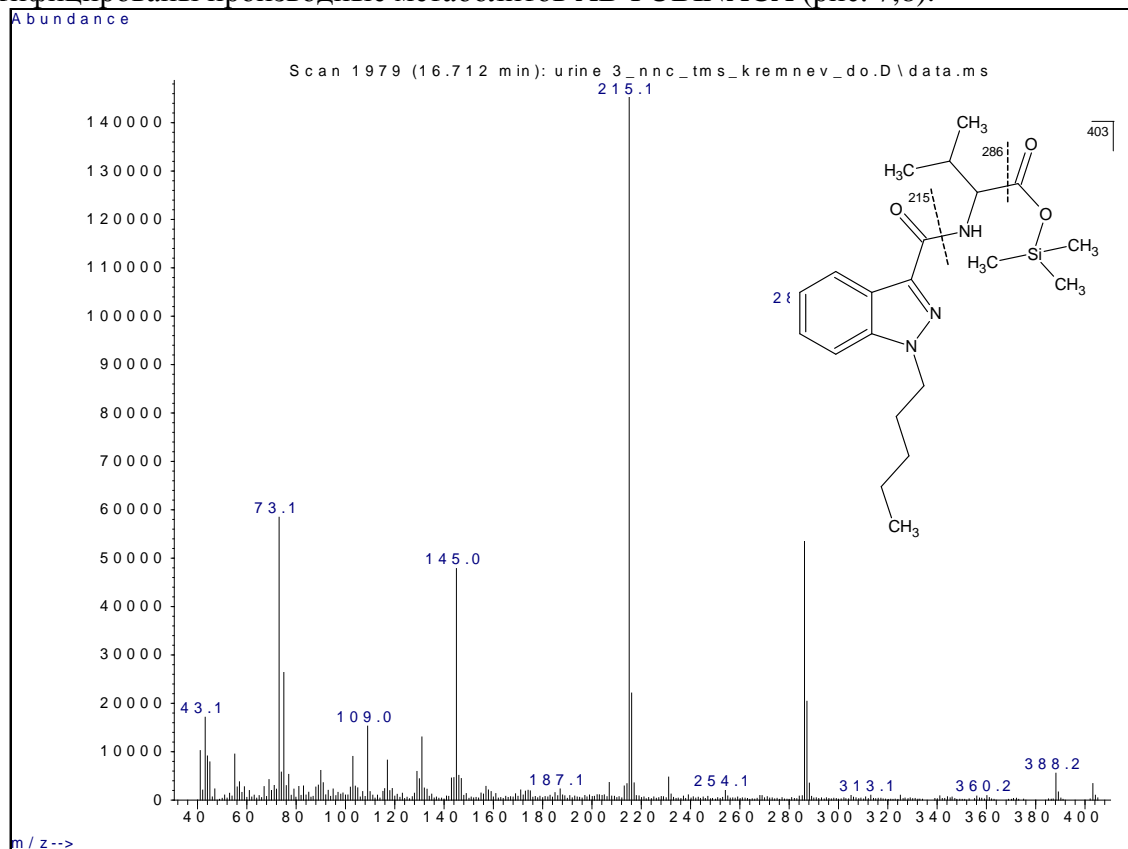


Рис.5. Образец мочи №4, содержащий AB-PINACA-M1

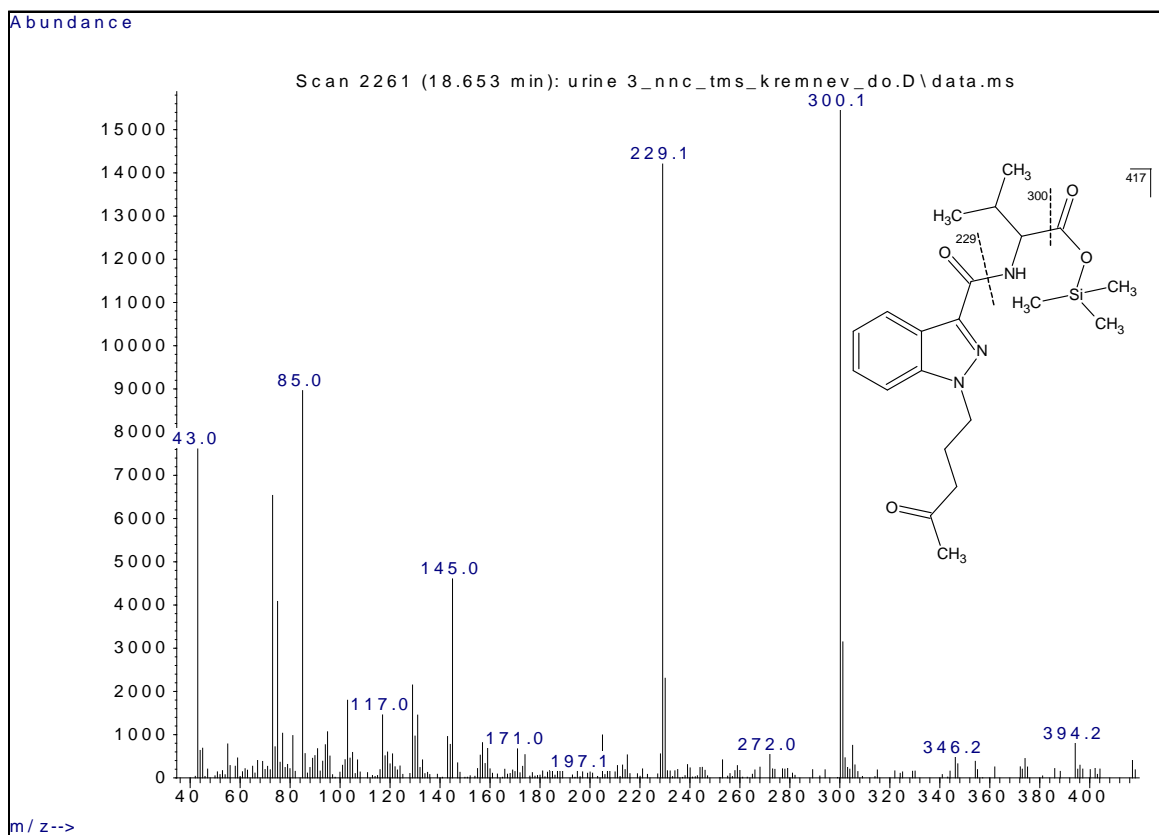


Рис.6. Образец мочи №4, содержащий AB-PINACA-M2

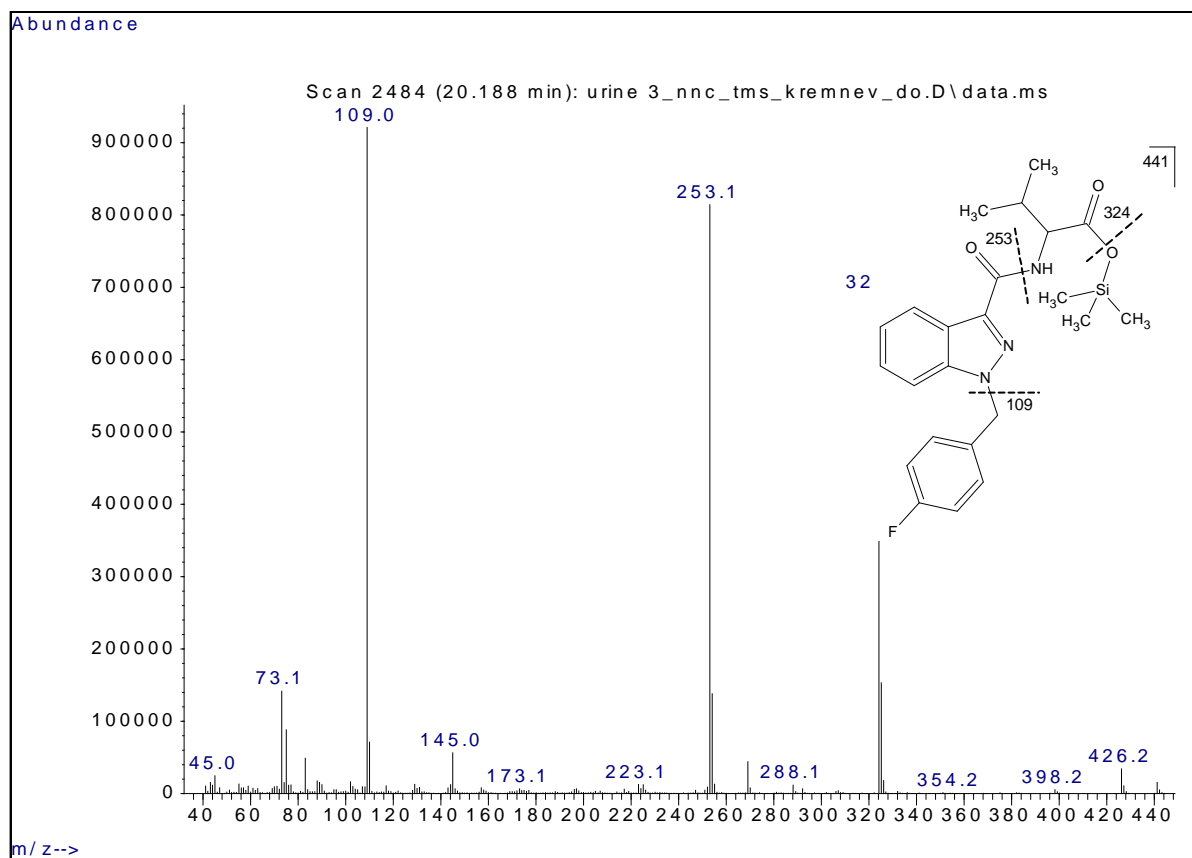


Рис. 7. Образец мочи №4, содержащий AB-FUBINACA-M1

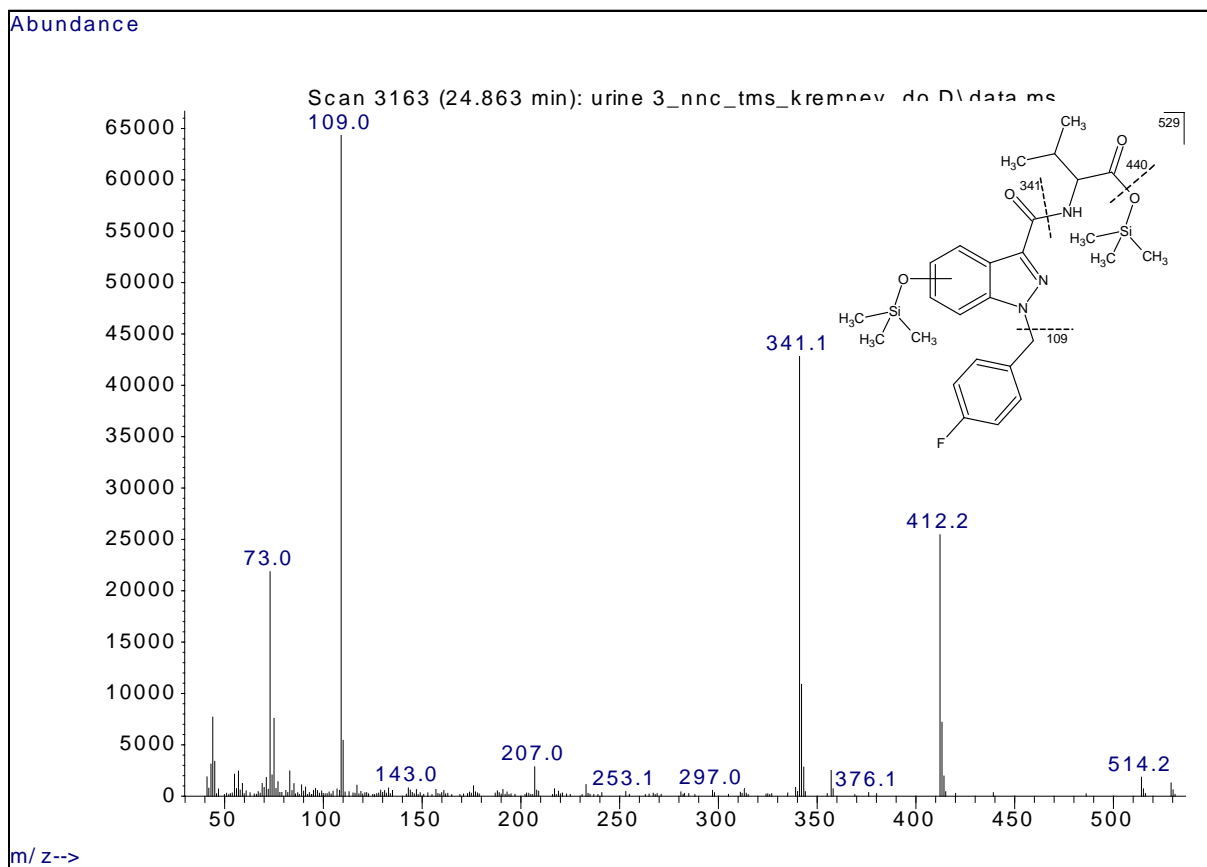
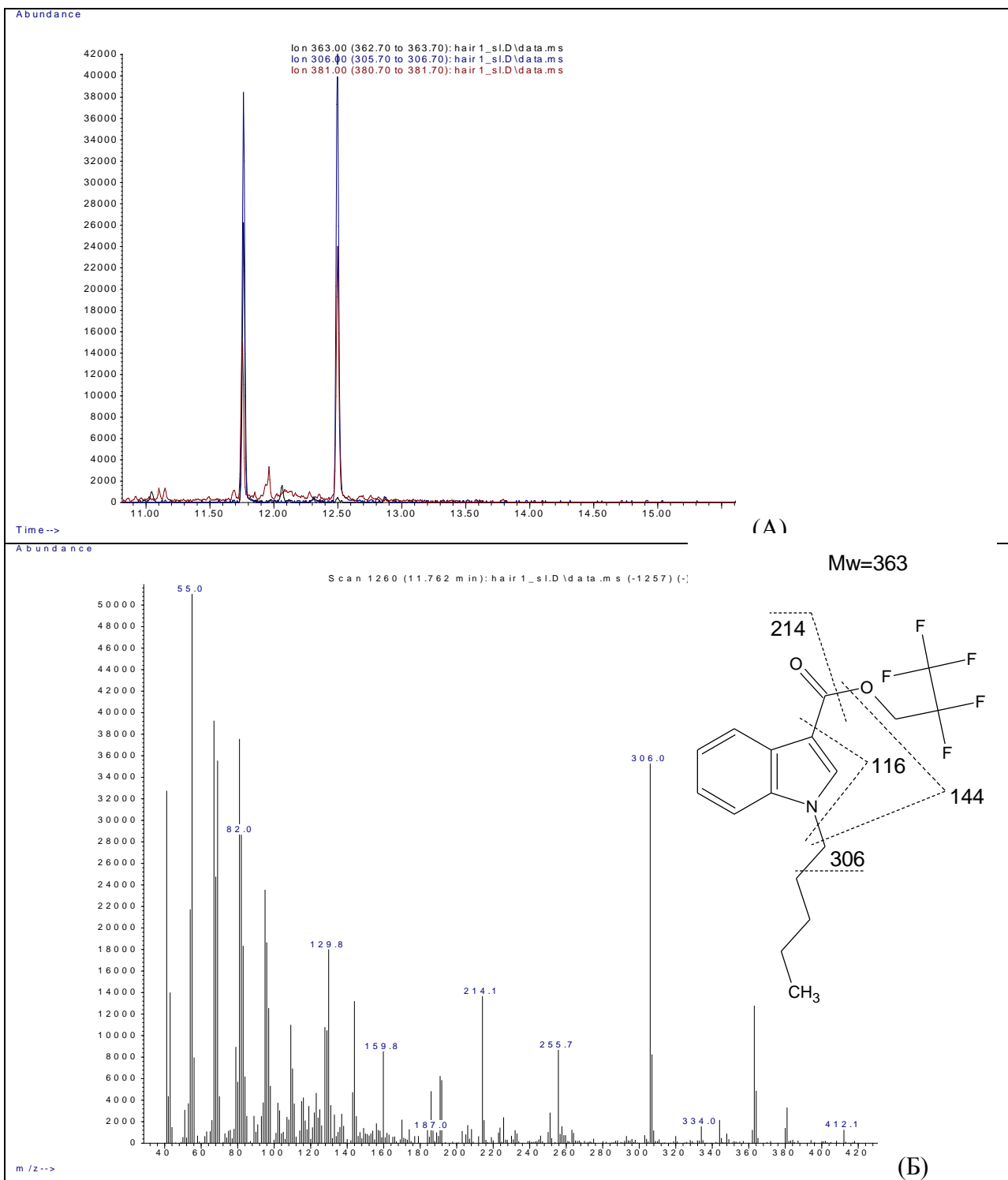


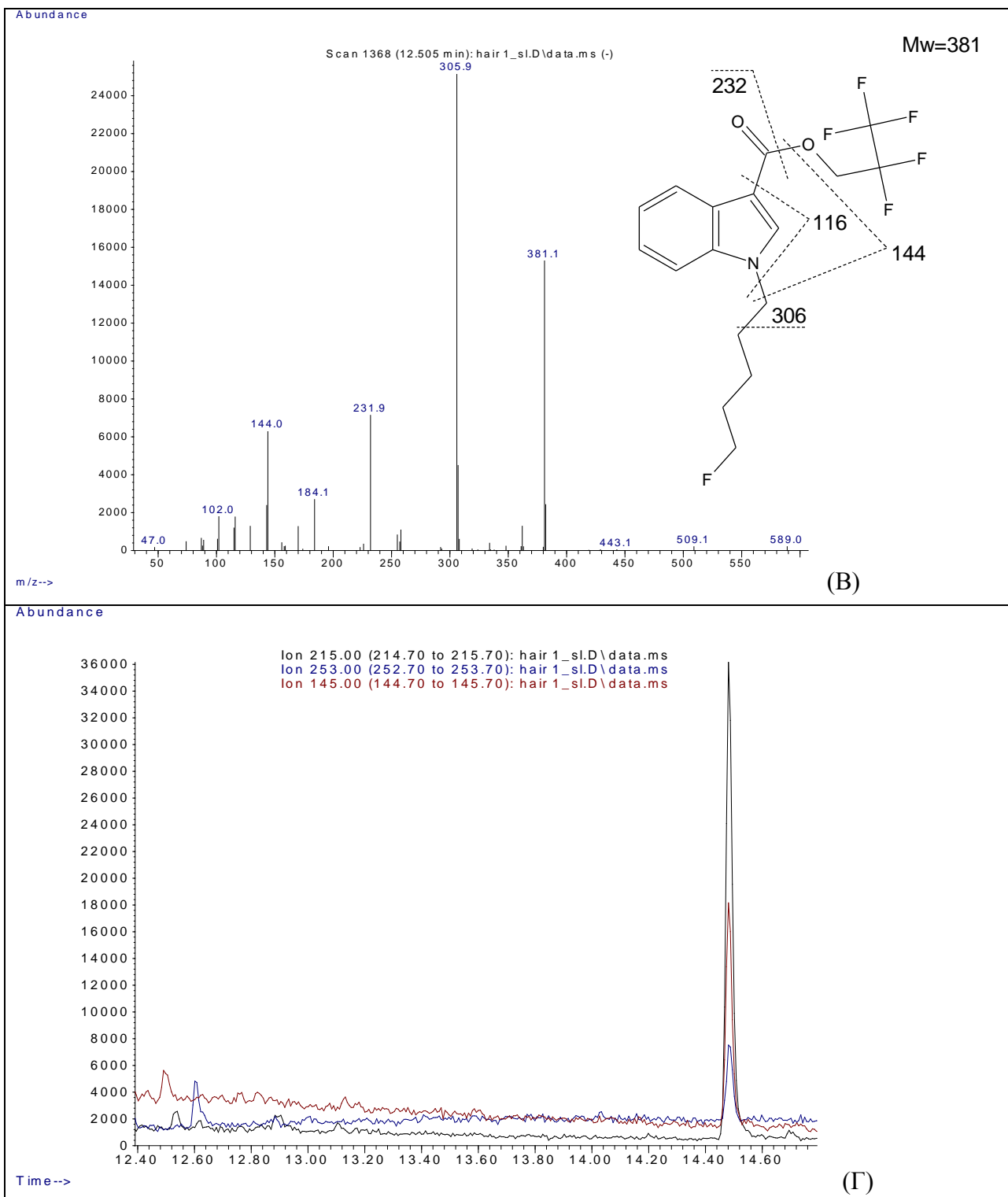
Рис. 8. Образец мочи №4, содержащий AB-FUBINACA-M2

**Определение метаболитов каннабимиметиков в волосах.** При сопоставлении хроматограмм образцов волос было выявлено несколько пиков с масс-спектрами, отсутствующими в бланковых образцах. Учитывая пути биотрансформации производных индол-3-карбоновой кислоты и 8-оксихинолина, включающие гидролиз сложноэфирной связи, гидроксилирование по индолу, образование гидрокси- и оксо- производных по алкильной цепи, вели целенаправленный поиск по выбранным ионам (рис. 9А). Кроме того, образование 1-пентил-1Н-индол-3-карбоновой кислоты обусловлено процессом щелочного гидролиза при пробоподготовке.

Также, как и при анализе масс-спектров метилированных и триметилсилильных производных [0], в масс-спектрах пентафторацетильных маркеров РВ-22 и РВ-22F наблюдается выраженный молекулярный ион-радикал  $[363]^+$  и  $[381]^+$  соответственно. Основные направления фрагментации определяются разрывом связей по сложноэфирной группе и алкильному радикалу (рис. 9Б, В).

Для пентафторацетильного производного маркера AB-PINACA, идентифицированного в образцах волос, наблюдается выраженный молекулярный ион-радикал  $[463]^+$ . Основные направления фрагментации определяются индазольной группировкой  $[145]^+$ ,  $[174]^+$ ; разрывом амидной связи  $[215]^+$ , а также связи по алкильному радикалу  $[406]^+$  (рис. 9Д).





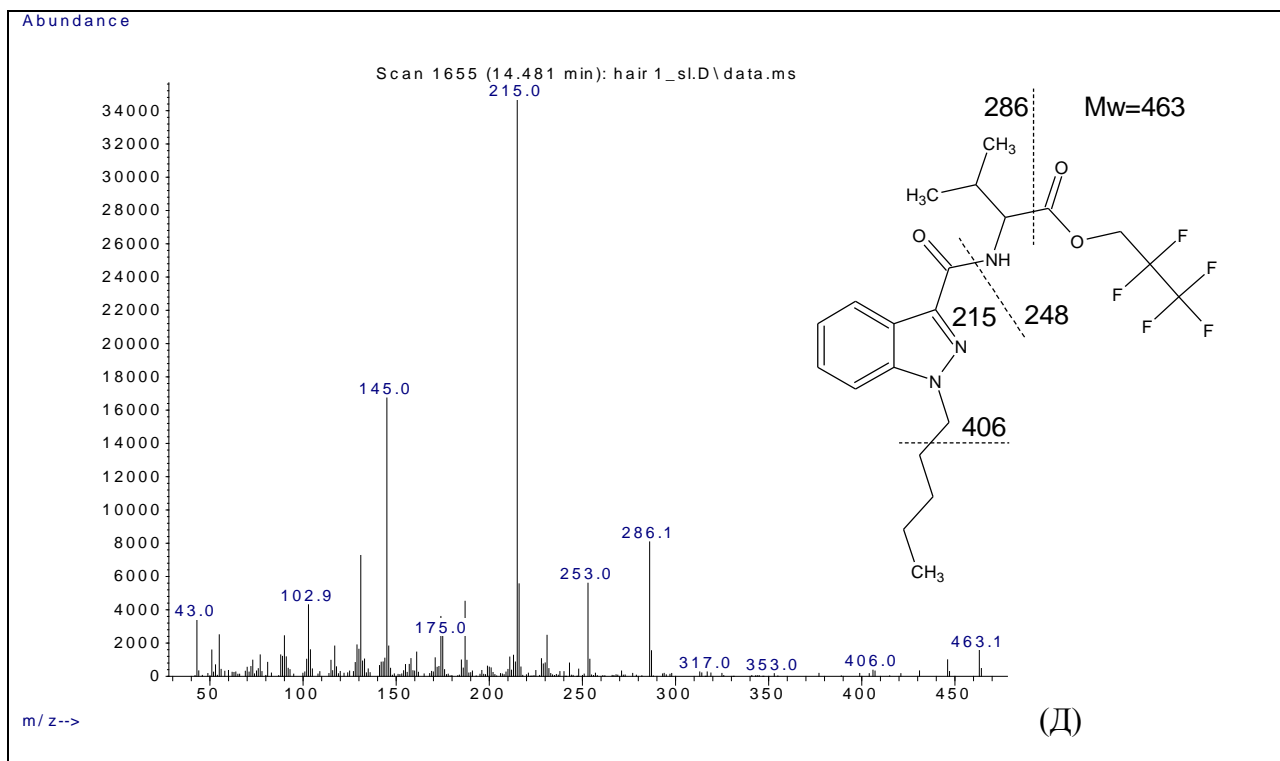


Рис. 9. Образец волос №1, содержащий PB22-M, PB22F-M, AB-PINACA-M1.

При анализе образцов волос № 1, 3, 4, 6 были идентифицированы PFPA-производные трех синтетических каннабимиметиков — PB22-M, PB22F, AB-PINACA (Таблица 1).

При анализе образца волос №4 были идентифицированы PFPA-производные метаболиты AB-PINACA. Производные метаболитов AB-FUBINACA, идентифицированные в моче №4, в волосах обнаружены не были.

Таблица 1.

**Результаты определения метаболитов синтетических каннабимиметиков в волосах**

№ пробы	Дата забора материала	Анамнез	Проба	Результат исследования методом ГХ-МС
1	14.08.13	Курит «спайсы» ежедневно, последнее курение 13.08.13	волосы	PB-22, PB-22F, AB-PINACA
2.	21.08.13	Курит «спайсы» ежедневно 2 года, последнее курение 20.08.13	волосы	отрицательный
3.	04.09.13	Курит «спайсы» с января 2012 через день, последний раз 31.08.13	волосы	PB-22F
4.	05.09.13	Полтора года курит «спайсы» ежедневно по 1 гр. в сутки, последний раз 04.09.13	волосы	AB-PINACA
			моча	AB-PINACA, AB-FUBINACA
5	06.09.13	Курит каннабис несколько лет ежедневно по 5- 7 раз в сутки, отмечается эпизодическое курение «спайсов»	волосы	отрицательный
6	06.09.13	Курит «спайсы», развилось психотическое состояние	волосы	PB-22F

## **Список литературы.**

1. Shevyrin V., Melkozerov V., Nevero A., Eltsov O., Shafran Yu. Analytical characterization of some synthetic cannabinoids, derivatives of indole-3-carboxylic acid // Forensic Sci. Int. – 2013.–Vol. 232. – P. 1-10.
2. Uchiyama N., Matsuda S., Kawamura M., Kikura-Hanajiri R., Goda Y. Two new-type cannabimimetic quinolinyl carboxylates, QUPIC and QUCHIC, two new cannabimimetic carboxamide derivatives, ADB-FUBINACA and ADBICA, and five synthetic cannabinoids detected with a thiophene derivative a-PVT and an opioid receptor agonist AH-7921 identified in illegal products // Forensic Toxicol. – 2013. – Vol. 31. – P. 223–240.
3. Uchiyama N., Matsuda S., Wakana D., Kikura-Hanajiri R., Goda Y. New cannabimimetic indazole derivatives, N-(1-amino-3-methyl-1-oxobutan-2-yl)-1-pentyl-1H-indazole-3-carboxamide (AB-PINACA) and N-(1-amino-3-methyl-1-oxobutan-2-yl)-1-(4-fluorobenzyl)-1H-indazole-3-carboxamide (AB-FUBINACA) identified as designer drugs in illegal products // Forensic Toxicol. – 2013. – Vol. 31. – P. 93–100.
4. Катаев С.С., Зеленина Н.Б., Дворская О.Н. Идентификация маркеров каннабимиметиков РВ-22 и РВ-22F в моче методом ГХ-МС // Бутлеровские сообщения. – 2013. – Т.34.– №4. – С. 116 – 122.
5. Катаев С.С., Зеленина Н.Б., Дворская О.Н. Идентификация метаболитов каннабимиметика АВ-PINACA в моче методом ГХ-МС // Бутлеровские сообщения. – 2013. – Т.35.– №9. – С. 131 – 138.
6. Савчук С.А., Никитина Н.М., Зулаева А.С., Несмеянова Н.И., Константинова С.Д. Применение методов ГХ-МС и ВЭЖХ-МС/МС для определения наркотических веществ в волосах // наркология. – 2012. – №10. – С. 72-79.
7. Шевырин В.А., Мелковеров В.П., Моржерин Ю.Ю. Идентификация и аналитические характеристики двух новых синтетических каннабиноидов - производных индазола // Бутлеровские сообщения. – 2012. – Т.30. – №4. – С.93-98.

## **Приложение 3.**

### **1. Частные примечания.**

\* - Возможно использование иных колонок, обладающих подобной селективностью (5% фенилдиметилсилоксан). В большинстве случаев это требует коррекции ФВУ или упрощения режима поиска AMDIS (Simple). В этом режиме не учитывается удерживание анализаторов, что снижает достоверность определения.

\*\* - UR-144 и его метаболиты разрушаются при кислотной деконъюгации, образуя артефактные формы. Поэтому большинство его метаболитов могут быть найдены только при проведении ферментной деконъюгации. Тем не менее, способ деконъюгации почти не влияет на эффективную чувствительность определения основных форм.

\*\*\* - Выполнение экстракции из нейтральной среды необходимо только для обнаружения 8-оксихинолина, являющегося метаболитом PB-22 и PB-22F. Данное обнаружение повышает достоверность анализа. При отсутствии необходимости обнаружения 8-оксихинолина эта стадия может быть исключена из процесса подготовки проб.

\*\*\*\* - В целом, методика предназначена для обнаружения триметилсилильных дериватов, что позволяет достигать наибольшей чувствительности. В наибольшей степени это относится к тяжелым соединениям (метаболиты JWH-018, JWH-073, JWH-210, AB-001, AM-694). Ряд соединений (метаболиты JWH-250, JWH-251, JWH-203, UR-144) нередко присутствуют в моче в значительных концентрациях, и могут быть обнаружены в виде ацетатов и в свободной форме. Метилирование пригодно только для обнаружения N-и O-дезалкилированных метаболитов и не может быть применяться для фенилацетилиндолов (JWH-250, JWH-251, JWH-203) из-за образования побочных продуктов.

## Приложение 4.

### Сводная библиотека масс-спектров SUDMED\_1465

адрес постоянного размещения пакета <http://www.sudmed.ru/index.php?showtopic=6924>

Состав пакета:

*SUDMED\_1465\_NISTLIB\_20141026* - библиотека в формате NIST Search  
*SUDMED\_1465\_AMDISLIB\_20141026* - библиотека в формате AMDIS  
*SUDMED\_1465\_ACSLIB\_20141026* - библиотека в формате хемстанции (Agilent ChemStation)  
*SUDMED\_1465\_20141026.pdf* - список содержимого библиотеки

Сводная библиотека включает спектры метаболитов преимущественно в виде триметилсилильных и метильных дериватов, включает многие рабочие структуры и линейные индексы удерживания. В сводную библиотеку вошли спектры опубликованные для свободного использования в открытых источниках, в том числе в библиотеках CAYMANSPECTRALLIBRARY, SWGDRUG, rf-des\_drug, pub\_cann, на интернет ресурсе sudmed.ru, в научных публикациях.

1.	JWH-250 -M1	10.	TMS Ether 1-pentyl-1H-indole-3-carboxylic acid	15.	2-(Diphenylmethyl)pyrrolidine, N-acetyl-
2.	JWH-250 -M2 AC	11.	quinolin-8-ol TMSEther	16.	2-(Diphenylmethyl)pyrrolidine
3.	JWH-250 -M6 2AC	12.	artefact I base hydr PB-22 (TMS)	17.	5-APB
4.	JWH-250 -M7 2AC	13.	Artifact II base Hydr PB-22 (TMS)	18.	5-APB, Ac
5.	JWH-250 -M2 TMS	14.	Acid Hydr PB-22 Artefact I (TMS)	19.	6-APB
6.	JWH-250 -M6 2TMS				
7.	JWH-250 -M7 2TMS				
8.	JWH-250 -M1 TFA				
9.	JWH-250 -M/artifact				

20.	6-APB, Ac		pyrrolidinylmethane TFA	104.	Aprofene \$\$\$ Propionic acid, 2,2-diphenyl-, 2-(diethylamino)ethyl ester
21.	Methoxetamine	69.	Nalidixinic Acid, TMS	105.	105 (4-methoxyphenyl)(1-pentyl-1H-indol-3-yl)methanone
22.	Methoxetamine, N-acetyl-	70.	Nalidixic acid, methyl ether	106.	Ethcathinone \$\$\$ 2-(ethylamino)-1-phenylpropan-1-one \$\$\$
23.	AB-PINACA-M2 (COOH, oxo=), methyl-	71.	Nalidixic acid, PFPyl ether		N-ethylcathinone
24.	AB-PINACA-M2 (COOH, oxo=), TMS	72.	Scopolamine	107.	Ethcathinone \$\$\$ 2-(ethylamino)-1-phenylpropan-1-one \$\$\$
25.	AB-PINACA-M3 (COOH, -OH), methyl-	73.	Scopolamine, -H2O		N-ethylcathinone
26.	AB-PINACA-M3 (COOH, Alkyl-OH) methyl-, TMS	74.	Scopolamine, acetyl-	108.	JWH-250 \$\$\$ 1-pentyl-3-(2-methoxyphenylacetyl)indole
27.	AB-PINACA-M3 (COOH, alkyl-OH), diTMS	75.	Sibutramine		JWH-250 \$\$\$ 1-pentyl-3-(2-methoxyphenylacetyl)indole
28.	AB-PINACA-M4 (COOH, Aryl-OH), dimethyl-	76.	Tramadol acetyl-	109.	JWH-251 \$\$\$ 1-pentyl-3-(2-methoxyphenylacetyl)indole
29.	AB-PINACA-M4 (COOH, Aryl-OH), diTMS	77.	Zopiclone	110.	JWH-251 \$\$\$ 1-pentyl-3-(2-methylphenylacetyl)indole
30.	AB-PINACA-M3 (COOH, alkyl-OH), methyl-, acetyl- LTI-258 (APINACA)	78.	Zopiclone artifact	111.	JWH-251 \$\$\$ 1-pentyl-3-(2-methylphenylacetyl)indole
31.	ABCM(N)-2201	79.	Zopiclone hydr acetyl-		
32.	ACBM-018 (APICA)	80.	Zopiclone hydr, methyl-	112.	methylphenylacetyl)indole (1-naphthyl)(1H-indol-3-yl)methanone \$\$\$ 3-(1-naphthoyl)indole
34.	ACBM-2201	81.	Zopiclone, hydr, TMS	113.	(1-naphthyl)(1H-indol-3-yl)methanone \$\$\$ 3-(1-naphthoyl)indole
35.	A-836,339	82.	Zopiclone, hydr	114.	Naphyrone \$\$\$ 1-(naphthalen-2-yl)-2-(pyrrolidin-1-yl)pentan-1-one
36.	25I-NBOMe	83.	Zopiclone, hydr, methyl-		
37.	25I-NBOMe imine	84.	Zopiclone, hydr, PFP-	115.	Naphyrone \$\$\$ 1-(naphthalen-2-yl)-2-(pyrrolidin-1-yl)pentan-1-one
38.	Carfentanyl	85.	Zopiclone, hydr, ethyl-	116.	Methylone \$\$\$ 2-methylamino-1-(3,4-methylenedioxypyphenyl)propan-1-one
39.	CP47,497-C8 homolog	86.	Zopiclone, hydr, PFBz-	117.	Methylone \$\$\$ 2-methylamino-1-(3,4-methylenedioxypyphenyl)propan-1-one
40.	JWH-018	87.	Zopiclone, hydr, PFBz-	118.	5-MeO-DALT \$\$\$ N,N-diallyl-5-methoxytryptamine
41.	JWH-073	88.	2-amino-5-chloropyridine	119.	5-MeO-DALT \$\$\$ N,N-diallyl-5-methoxytryptamine
42.	CP47,497-C8 homolog, diacetyl-	89.	2-amino-5-chloropyridine acetyl-	120.	AM-694 \$\$ (1-(5-fluoropentyl)-1H-indol-3-yl)(2-iodophenyl)methanone
43.	CP47,497-C8 homolog, di-TMS-	90.	Ketorolac Artefact	121.	JWH-081 \$\$\$ 1-Pentyl-3-(4-methoxy-1-naphthoyl)indole
44.	CP-47,497-C8 isomer, diacetyl-	91.	JWH-018	122.	JWH-122 \$\$\$ 1-Pentyl-3-(4-methyl-1-
45.	CP-47,497-C8 isomer, diPFP-	92.	JWH-018		
46.	CP-47,497-C8 isomer, diTFA-	93.	JWH-073		
47.	CP-47,497-C8, di-TMS-	94.	Methamphetamine		
48.	CP-47,497-C8, diacetyl-	95.	para-methylephedrone		
49.	CP-47,497-C8, diPFP-	96.	\$\$\$ 2-(methylamino)-1-(4-methylphenyl)propan-1-one		
50.	CP-47,497-C8, diTFA-	97.	(1RS,3SR)-3-[4-(1,1-dimethyloctyl)-2-hydroxyphenyl]cyclohexan-1-ol \$\$\$ CP-47,497-C8		
51.	CP47,497-C8	98.	JWH-073		
52.	CP47,497-C8 isomer	99.	(1RS,3SR)-3-[4-(1,1-dimethylheptyl)-2-hydroxyphenyl]cyclohexan-1-ol \$\$\$ CP-47,497-C7		
53.	CP47,497-C8 isomer, methyl-	100.	\$\$\$ CP-47,4 Fluoromethcathinone \$\$\$ 1-(fluorophenyl)-2-(methylamino)propan-1-one		
54.	CP-47,497-C8, methyl-	101.	Fluoromethcathinone \$\$\$ 1-(fluorophenyl)-2-(methylamino)propan-1-one		
55.	ACBM(N)-2201	102.	para-methylephedrone	118.	5-MeO-DALT \$\$\$ N,N-diallyl-5-methoxytryptamine
56.	STS-135		\$\$\$ 2-(methylamino)-1-(4-methylphenyl)propan-1-one	119.	5-MeO-DALT \$\$\$ N,N-diallyl-5-methoxytryptamine
57.	LTI-258 (APINACA)		3,4-	120.	AM-694 \$\$ (1-(5-fluoropentyl)-1H-indol-3-yl)(2-iodophenyl)methanone
58.	Desomorphine, acetyl-		Methylenedioxypyrovalero ne \$\$\$ MDPV \$\$\$ 1-(3,4-Methylenedioxypyphenyl)-2-(1-pyrrolidinyl)-1-pen	121.	JWH-081 \$\$\$ 1-Pentyl-3-(4-methoxy-1-naphthoyl)indole
59.	Desomorphine		3,4-	122.	JWH-122 \$\$\$ 1-Pentyl-3-(4-methyl-1-
60.	Desomorphine, methyl-		Methylenedioxypyrovalero ne \$\$\$ MDPV \$\$\$ 1-(3,4-Methylenedioxypyphenyl)-2-(1-pyrrolidinyl)-1-pen		
61.	Desomorphine, butyrate-		3,4-		
62.	Desomorphine, TMS		Methylenedioxypyrovalero ne \$\$\$ MDPV \$\$\$ 1-(3,4-Methylenedioxypyphenyl)-2-(1-pyrrolidinyl)-1-pen		
63.	Desomorphine, Propionyl-		3,4-		
64.	Desomorphine, PFP-		Methylenedioxypyrovalero ne \$\$\$ MDPV \$\$\$ 1-(3,4-Methylenedioxypyphenyl)-2-(1-pyrrolidinyl)-1-pen		
65.	Desomorphine, pentafluorbenzyl-		3,4-		
66.	Desomorphine, TFA-		Methylenedioxypyrovalero ne \$\$\$ MDPV \$\$\$ 1-(3,4-Methylenedioxypyphenyl)-2-(1-pyrrolidinyl)-1-pen		
67.	Diphenyl-2-pyrrolidinylmethane ME		3,4-		
68.	Diphenyl-2-		Methylenedioxypyrovalero ne \$\$\$ MDPV \$\$\$ 1-(3,4-Methylenedioxypyphenyl)-2-(1-pyrrolidinyl)-1-pen		

123.	naphthoyl)indole 2C-E \$\$\$ 4-Ethyl-2,5-Dimethoxyphenethylamine	160. PB-22 marker, methyl- 161. PB-22 marker, TMS 162. PB-22F marker, methyl- 163. PB-22F marker, TMS 164. 5-Fluoro AB-PINACA M1 (marker), methyl-	203. MDPV (IT-MS) 204. MDPBP (IT-MS) 205. Pentyalone (IT-MS) 206. MPPP (IT-MS) 207. HU-210 2TMS 208. HU-331 209. CB-25 210. CB-52 211. HU-210 212. HU-211 213. CP 47,497 C7 214. CP 55, 940 215. L-759, 633 216. BAY 59-3074 217. Oleamide 218. WIN 55212-2 219. JWH-200 220. JWH-133 221. JWH-015 222. JWH-020 223. JWH-072 224. JWH-019 225. DEA 226. Salvinorin A 227. DD-001 228. JWH-210-tomsk 229. 4-FMP 230. 4-FMP 231. Indan-2-amine 232. PMMA 233. MBZP 234. BDB 235. HMDMA-2 236. MMDA-2 237. 2C-E 238. 2C-C 239. 4-mpp 240. bk-MDEA 241. TMA-6 242. MDBP 243. 2C-I 244. DOI 245. 2C-T2 246. MIPT 247. 2C-T4 248. 5-MeO-AMT 249. 5-MeO-DMT 250. DIPT 251. DPT 252. 5-MeO-DET 253. 5-MeO-MIPT 254. 4-OH-DIPT 255. 5-MeO-DPT 256. 4-AcO-DIPT 257. N (Cyclopropylmethyl)mephe drone\$\$N,N Cyclopropylmethyl methyl 1 (4 methylphenyl) 2 aminopropan 258. N Allylmephedrone\$\$N Allyl 4 methylmethcathinone Butylone ME\$\$N Methylbutylone, bk
124.	para-methylethcathinone \$\$\$ 2-(ethylamino)-1-(4-methylphenyl)propan-1-one	165. 5-Fluoro AB-PINACA M1, bisTMS- 166. 5-Fluoro AB-PINACA M1, TMS 167. AB-CHMINACA M1 (marker), methyl-	
125.	para-methylethcathinone \$\$\$ 2-(ethylamino)-1-(4-methylphenyl)propan-1-one	168. AB-CHMINACA, TMS- 169. AB-CHMINACA, bis-TMS- 170. AB-FUBINACA M1 methyl- (marker AB-FUBINACA)	
126.	Butylone \$\$\$ 2-methylamino-1-(3,4-methylenedioxypyhenyl)butan-1-one	171. MDPV 172. MDPV-M (3,4-dihydroxyphenyl-), dimethyl-	
127.	para-methylamphetamine	173. MDPV-M (4-HO-,3-MeO-), acetyl-	
128.	para-fluoroamphetamine	174. MDPV-M (4-HO-,3-MeO-)	
129.	Salvinorin \$\$\$ Divinorin A	175. MDPV-M (acycl), dimethyl-	
130.	JWH-210 \$\$\$ 1-Pentyl-3-(4-ethyl-1-naphthoyl)indole	176. MDPV-M (acycl, 3,4-dihydroxyphenyl-), tetramethyl-	
131.	2C-B-FLY	177. MDPV-M (3,4-dihydroxyphenyl-), diacetyl-	
132.	3C-B-FLY	178. MDPV-M (oxo=, 3,4-dihydroxyphenyl-), diacetyl-	
133.	Bromo-DragonFLY	179. MDPV-M (oxo=,3,4-dihydroxyphenyl-), dimethyl-	
134.	Dimethylcathinone	180. MDPV-M, (oxo=)	
135.	Ethylcathinone	181. MDPV-M (oxo=, 4-HO-, 3-MeO-), acetyl-	
136.	Ethylcathinone, Ac	182. Mephedrone -M (HO-) 2Ac	
137.	2,4,5-Trimethoxyamphetamine	183. Mephedrone -M (Mephedrine) 2Ac	
138.	2,4,6-Trimethoxyamphetamine	184. Mephedrone -M (normephedrine-) 2 Ac	
139.	3,4,5-Trimethoxyamphetamine	185. Mephedrone -M (normephedrine-) 2Ac	
140.	2,4,5-Trimethoxyamphetamine, TFA	186. Mephedrone ME	
141.	2,4,6-Trimethoxyamphetamine, TFA	187. Methedrone TFA	
142.	3,4,5-Trimethoxyamphetamine, TFA	188. Methedrone TFA	
143.	4-Methoxypiperazine	189. Methedrone ME	
144.	Benzylpiperazine	190. Methedrone AC	
145.	Benzylpiperazine, TMS	191. Methedrone AC	
146.	mCPP, TMS	192. Methedrone AC	
147.	Piperonylpiperazine	193. Methedrone	
148.	Bupropion	194. Methedrone	
149.	2-Bromo-2,5-dimethoxybenzylpiperazine	195. Methedrone	
150.	2-Bromo-2,5-dimethoxybenzylpiperazine, acetyl-	196. Methedrone	
151.	JWH 018 -M1 (HO-) TMS	197. Methedrone	
152.	JWH 018 -M4 (HO-) TMS	198. Methedrone	
153.	JWH 018 -M5 (-COOH) TMS	199. Methedrone	
154.	JWH 018 -M7 2(HO-) 2TMS	200. 4-MeO-PCP	
155.	JWH 018 -M8 2(HO-) 2TMS	201. Psilocin, diTMS-	
156.	JWH 073 -M1 (HO-) TMS	202. 4-FMC (IT-MS)	
157.	AB-FUBINACA M1, TMS		
158.	BB-22 marker, methyl-		
159.	PB-22 marker, Ethyl-		

	MMBDB		# DiPT		<b>330.</b> Fenethylline
<b>260.</b>	N-(Methylcyclopropyl)butylon e	<b>299.</b>	Diisopropyltryptamine N,N- # DiPT		<b>331.</b> Dihydroxy-methamphetamine 3,4- # HHMA
<b>261.</b>	N Allylbutylone	<b>300.</b>	Hydroxyquetiapine 7-		<b>332.</b> Dihydroxy-methamphetamine 3,4- # HHMA
<b>262.</b>	Methylone ET	<b>301.</b>	Hydroxyquetiapine 7-		<b>333.</b> Hydroxy-3-methoxymethamphetamine
<b>263.</b>	N-(Cyclopropylmethyl)methyl one	<b>302.</b>	Hydroxy-N-des{[2-(2-hydroxy)ethoxy]ethyl} Quetiapine		<b>334.</b> Hydroxy-3-methoxymethamphetamine
<b>264.</b>	N Allylmethylone\$2 (N,N Allyl methylamino) 1 (3,4 methylenedioxyphe nyl)propan 1 one	<b>303.</b>	Hydroxy-N-des{[2-(2-hydroxy)ethoxy]ethyl} Quetiapine		<b>335.</b> Tetrazepam
<b>265.</b>	N-ethylmethylone	<b>304.</b>	Trifluoromethylphenylpiperazine 2-		<b>336.</b> Tetrazepam
<b>266.</b>	N-allylbutylone	<b>305.</b>	Trifluoromethylphenylpiperazine 2-		<b>337.</b> Tetrazepam artifact
<b>267.</b>	N-(Methylcyclopropyl)butylon e	<b>306.</b>	Trifluoromethylphenylpiperazine 4-		<b>338.</b> Tetrazepam artifact
<b>268.</b>	TMA-2		Trifluoromethylphenylpiperazine 4-		<b>339.</b> Chlorophenylpiperazine 3-# CPP
<b>269.</b>	TMA-2		Trifluoromethylphenylpiperazine 4-		<b>340.</b> Desmethylvenlafaxine O-
<b>270.</b>	TMA	<b>307.</b>	Trifluoromethylphenylpiperazine 4-		<b>341.</b> Desmethylvenlafaxine O-
<b>271.</b>	2C-B		Didesmethylvenlafaxine N,N-		<b>342.</b> Desmethylvenlafaxine O-
<b>272.</b>	2CT-2		Didesmethylvenlafaxine N,N-		<b>343.</b> Norhydrocodone
<b>273.</b>	2CT-7	<b>308.</b>	Quetiapine sulfoxide (?artifact)		<b>344.</b> Norhydrocodone
<b>274.</b>	desmethylpyrovaleron	<b>309.</b>	Quetiapine sulfoxide (?artifact)		<b>345.</b> Salvinorin-A
<b>275.</b>	Benzylpiperazine		N-Des[2-(2-hydroxyethoxy)ethyl] Quetiapine		<b>346.</b> Salvinorin-A
<b>276.</b>	Benzylpiperazine	<b>310.</b>	N-Des[2-(2-hydroxyethoxy)ethyl]		<b>347.</b> Tadalafil
<b>277.</b>	Memantine		Quetiapine		<b>348.</b> Tadalafil
<b>278.</b>	Memantine	<b>311.</b>	N-Des[2-(2-hydroxyethoxy)ethyl]		<b>349.</b> Vardenafil
<b>279.</b>	Desmethylvenlafaxine, O-		Quetiapine		<b>350.</b> Vardenafil
<b>280.</b>	Desmethylvenlafaxine, O-	<b>312.</b>	N-Des[2-(2-hydroxyethoxy)ethyl]		<b>351.</b> Lansoprazole breakdown
<b>281.</b>	Dehydronorketamine		Quetiapine		<b>352.</b> Lansoprazole breakdown
<b>282.</b>	Dehydronorketamine	<b>313.</b>	N-Des[2-(2-hydroxyethoxy)ethyl]		<b>353.</b> Lansoprazole sulfide
<b>283.</b>	Trifluoromethylphenylpiperazine, 3- # TFMPP		Quetiapine		<b>354.</b> Lansoprazole sulfide
<b>284.</b>	Trifluoromethylphenylpiperazine, 3- # TFMPP	<b>314.</b>	Norverapamil		<b>355.</b> Omeprazole sulfide
<b>285.</b>	Benzylpiperazine, N- # BZP	<b>315.</b>	Norverapamil		<b>356.</b> Omeprazole sulfide
<b>286.</b>	Methylenedioxyphe nyl-2-butanamine, -3,4- # BDB	<b>316.</b>	Hydroxybupropion erythro metabolite		<b>357.</b> Pantoprazole sulfide
<b>287.</b>	Methylenedioxyphe nyl-2-butanamine, -3,4- # BDB	<b>317.</b>	Hydroxybupropion erythro metabolite		<b>358.</b> Pantoprazole sulfide
<b>288.</b>	BDB Formyl artifact	<b>318.</b>	Hydroxybupropion threo metabolite		<b>359.</b> Rabeprazole sulfide
<b>289.</b>	Hydroxy-3-methoxyamphetamine, 4- # HMA	<b>319.</b>	Hydroxybupropion threo metabolite		<b>360.</b> Rabeprazole sulfide
<b>290.</b>	Hydroxy-3-methoxyamphetamine, 4- # HMA	<b>320.</b>	Hydroxybupropion (morphinol metabolite)		<b>361.</b> Pramipexole
<b>291.</b>	Norketamine	<b>321.</b>	Hydroxybupropion (morphinol metabolite)		<b>362.</b> Pramipexole
<b>292.</b>	Norketamine	<b>322.</b>	Bromo-2,5-dimethoxyamphetamine 4-# DOB		<b>363.</b> Ambroxol
<b>293.</b>	Norfentanyl				<b>364.</b> Ambroxol
<b>294.</b>	Norfentanyl	<b>323.</b>	Bromo-2,5-dimethoxyamphetamine 4-# DOB		<b>365.</b> Biperiden
<b>295.</b>	Bromo-2,5-dimethoxyamphetamine, 1,4- # DOB	<b>324.</b>	DOB Formyl artifact		<b>366.</b> Biperiden
<b>296.</b>	Bromo-2,5-dimethoxyamphetamine, 1,4- # DOB	<b>325.</b>	DOB Formyl artifact		<b>367.</b> Penfluridol
<b>297.</b>	Diisopropyltryptamine formyl artifact	<b>326.</b>	Dimethoxy-4-methylamphetamine 2,5-# DOM		<b>368.</b> Penfluridol
<b>298.</b>	Diisopropyltryptamine, N,N-	<b>327.</b>	DOM Formyl artifact		<b>369.</b> Solifenacin
		<b>328.</b>	DOM Formyl artifact		<b>370.</b> Solifenacin
		<b>329.</b>	Fenethylline		<b>371.</b> Cocaethylene
					<b>372.</b> Cocaethylene
					<b>373.</b> Cocaethylene
					<b>374.</b> OXAZEPAM B'DOWN
					<b>375.</b> LORAZEPAM B'DOWN
					<b>376.</b> Oxazepam artifact
					<b>377.</b> Cyproheptadine
					<b>378.</b> Flunitrazepam
					<b>379.</b> Flunitrazepam
					<b>380.</b> Nifedipine artifact
					<b>381.</b> Nifedipine artifact
					<b>382.</b> Nifedipine artifact
					<b>383.</b> Nifedipine
					<b>384.</b> Nifedipine
					<b>385.</b> Zopiclone artifact # 2-

386.	Amino-5-chloropyridine		hydroxy)ethoxy]ethyl}	e (MDHOET) -
	Zopiclone artifact # 2-	425.	Quetiapine	bisACetylated
387.	Amino-5-chloropyridine		N-Des[2-(2-hydroxyethoxy)ethyl]	2,4-Dimethoxy-3-methylphenethylamine
388.	Norketamine	426.	Quetiapine	5-MeO-DMT\$\$ 5-Methoxy-N,N-dimethyltryptamine
389.	Aminoflunitrazepam		Hydroxy-3-methoxymethylamphetamine # HMMA	5-Methoxy-N,N-diisopropyltryptamine
390.	Aminoflunitrazepam	427.	Norfentanyl	4-(2-aminopropyl)-2,3-dihydro-1H-indene (4-IAP)
391.	Pregabalin artifact	428.	Norverapamil	5-(2-aminopropyl)-2,3-dihydro-1H-indene (5-IAP)
392.	Pregabalin artifact	429.	Quetiapine sulfoxide (?artifact)	4-Methoxy-N-ethylamphetamine
393.	Ramelteon	430.	Salvinorin-A	acetylenthcathinone
394.	Ramelteon	431.	Tetrazepam artifact	dimethcathinone
395.	Ropinirole	432.	Tetrazepam	ethcathinone
396.	Ropinirole	433.	Nicotinamide	2C-B-FLY
397.	Stiripentol	434.	RCS-4	3C-B-FLY
398.	Stiripentol	435.	WIN 55,212-2	3C-B-FLY(norm to
399.	Norverapamil	436.	CP 55,940	254m/z)
400.	Fentanyl	437.	AM-694\$\$1-[(5-Fluorptyl)-1H-indol-3-yl]-2-iodphenyl)methanon	3C-B-DragonFLY
401.	Metaxalone	438.	JWH-398	3C-B-DragonFLY (norm to
402.	Metaxalone	439.	HU-308\$\$[(1R,2R,5R)-2-[2,6-dimethoxy-4-(2-methyloctan-2-yl)phenyl]-7,7-dimethyl-4-bicyclo[3.1.1]he	142m/z)
403.	Varenicline	440.	HU-331	(D) 1-(3-METHYLPHENYL)PIPERAZINE\$NE\$\$mMPP
404.	Varenicline	441.	N-Cyclopropyl-11-(3-hydroxy-5-pentylphenoxy)undecanamid\$\$CB-25	1-(4-FLUOROPHENYL)PIPERAZINE\$NE\$\$(\$pFPP)
405.	2,5-Dimethoxy-4-ethylthiophenethylamine # 2 C-T-2	442.	N-Cyclopropyl-11-(2-hexyl-5-hydroxyphenoxy)undecana	1-(3-methylphenyl)piperazine\$\$mMPP
406.	2,5-Dimethoxy-4-isopropylthiophenethylamine # 2 C-T-4	443.	mid\$\$CB-52	3-FLUOROISOMETHCATHINO NE - by-product of
407.	2,5-Dimethoxy-4-isopropylthiophenethylamine # 2 C-T-4	444.	N-Ethyl-2-(3,4-methylenedioxophenyl)-propan-1-amin	synthesis of 3-FMC
408.	2,5-Dimethoxy-4-ethylamphetamine # DOET	445.	1-(3,4-Methylendioxyphenyl)2-methylamino-propan-1-on	4-METHOXY-METHYLAMINOBUTYRONE\$\$1-(4-methoxyphenyl)-2-(methylamino)butan-1-one
409.	2,5-Dimethoxy-4-ethylamphetamine # DOET	446.	4-Bromo-2,5-dimethoxybenzylpiperazine	bupropion
410.	2,5-Dimethoxy-4-iodoamphetamine # DOI	447.	2-Bromo-4,5-dimethoxybenzylpiperazine	DOCl
411.	2,5-Dimethoxy-4-iodoamphetamine # DOI	448.	4-Bromo-2,5-dimethoxybenzylpiperazine AC	ethactinon\$\$2-(ethylamino)-1-phenylpropan-1-one
412.	Trifluoromethylphenylpiperazine, 2-	449.	2-Bromo-4,5-dimethoxybenzylpiperazine AC	MBZP\$\$1-Methyl-4-benzylpiperazine (MBZP)
413.	Trifluoromethylphenylpiperazine, 4-	450.	1,4-Di(4-Bromo-2,5-dimethoxybenzyl)piperazine e	1-hexyl-3-(naphthalen-1-ylmethyl)-1H-indole, RI(ZB5MS) 3030, TOF01403.7rw
414.	Benzylpiperazine, N- # BZP	451.	1,4-Di(2-Bromo-4,5-dimethoxybenzyl)piperazine e	1-heptyl-3-(naphthalen-1-ylmethyl)-1H-indole, RI(ZB5MS) 3129 , TOF01404.7rw
415.	Dimethoxy-4-methylamphetamine, 2,5- # DOM	452.	3,4-Methylenedioxo-N-(2-hydroxyethyl)amphetamine (MDHOET)	1-butyl-3-(naphthalen-1-ylmethyl)-1H-indole, RI(ZB5MS) 2841 , TOF01406.7rw
416.	Didesmethylvenlafaxine	453.	3,4-Methylenedioxo-N-(2-hydroxyethyl)amphetamine (MDHOET)	3-(naphthalen-1-ylmethyl)-1-pentyl-1H-indole, RI(ZB5MS) 2936 , TOF01342-Centroided.7rw
417.	Dehydronorketamine			(1-hexyl-1H-indol-3-
418.	5-Methoxy-N,N-diisopropyltryptamine			
419.	Diisopropyltryptamine, N,N-			
420.	Methylenedioxophenyl-2-butanamine, 3,4- # BDB			
421.	Hydrox-3-methoxyamphetamine, 4-# HMA			
422.	Norvenlafaxine			
423.	Fenethyline			
424.	Hydroxy-N-des{[2-(2-			

	yl)(naphthalen-1-yl)methanone, RI(ZB5MS) 3371 TOF01313-Centroided.7rw	<b>497.</b>	RI(ZB5MS) 2717, TOF01306-Centroid 2-((1S,3R)-3-hydroxycyclohexyl)-5-(2-methylnonan-2-yl)phenol, RI(ZB5MS) 2732, TOF01306-Centroid	<b>551.</b> 25I-NBOMe Ac <b>552.</b> 25I-NBOMe PFP <b>553.</b> 25I-NBOMe PrO <b>554.</b> 25I-NBOMe TFA <b>555.</b> 5-MeO-MiPT PFP <b>556.</b> 5-MeO-MiPT PrO <b>557.</b> 5-MeO-MiPT TFA <b>558.</b> 2C-D PFP <b>559.</b> 2C-D TFA <b>560.</b> Pregabalin cyclic artefact <b>561.</b> Diphenylamine <b>562.</b> THJ-018 <b>563.</b> THJ-2201 <b>564.</b> N,N-Diethyl-2-(1-pentyl-1H-indol-3-yl)-4-thiazaolemethanamine <b>565.</b> N-(2-Methoxyethyl),N-isopropyl-2-(1-pentyl-1H-indol-3-yl)-4-thiazaolemethanamine <b>566.</b> 1-benzyl-4-methylpiperazine\$\$MBZP <b>567.</b> 1,4-dibenzylpiperazine <b>568.</b> 1-(1,3-benzodioxol-5-yl)-2-(benzylamino)propan-1-one <b>569.</b> Phenylephrine <b>570.</b> 5-MeOMiPT\$\$5-MeO-methylisopropiltryptamin <b>571.</b> 5-MeDipt\$\$5-MeO-dilisopropiltryptamin <b>572.</b> 4-AcDipt\$\$4-Ac-dilisopropiltryptamin <b>573.</b> 4-AcMiPT\$\$4-Ac-methylisopropiltryptamin <b>574.</b> 4-OHDipt\$\$4-OH-diisopropiltryptamin <b>575.</b> DPT\$\$dipropiltryptamin <b>576.</b> MIPT\$\$methylisopropiltryptamin <b>577.</b> AMT\$\$alphamethyltryptamin <b>578.</b> 3,4-MDBP <b>579.</b> 4-MeOPP <b>580.</b> impurity to RCS-4 <b>581.</b> impurity to RCS-4 <b>582.</b> Pentedrone <b>583.</b> FUB-PB-22 marker TMS <b>584.</b> 584 5-MeOAMT\$\$5-MeO-alphamethyltryptamin <b>585.</b> a-PVT <b>586.</b> a-PVT <b>587.</b> 5-IT <b>588.</b> AH 7921 <b>589.</b> AH-7921 <b>590.</b> 5-IT <b>591.</b> MT-45 <b>592.</b> α-Tocopherol acetate <b>593.</b> FUB-PB-22 marker Me <b>594.</b> ??? FUB-PB-22 M-OH Me <b>595.</b> AB-PINACA-M1 (COOH), methyl-
<b>482.</b>	naphthalen-1-yl(1-pentyl-1H-indol-3-yl)methanone, RI(ZB5MS) 3261, TOF01313-Centroided.7rw	<b>498.</b>	Butylone	<b>558.</b> 2C-D PFP <b>559.</b> 2C-D TFA
<b>483.</b>	(1-butyl-1H-indol-3-yl)(naphthalen-1-yl)methanone, RI(ZB5MS) 3166, TOF01313	<b>499.</b>	Butylone, PFP- Butylone, TFA- Butylone, acetyl-	<b>560.</b> Pregabalin cyclic artefact <b>561.</b> Diphenylamine <b>562.</b> THJ-018 <b>563.</b> THJ-2201
<b>484.</b>	(1-heptyl-1H-indol-3-yl)(naphthalen-1-yl)methanone, RI(ZB5MS) > 3400, TOF01371-Centroided.7rw	<b>500.</b>	Mephedrone	<b>564.</b> N,N-Diethyl-2-(1-pentyl-1H-indol-3-yl)-4-thiazaolemethanamine
<b>485.</b>	naphthalen-1-yl(1-propyl-1H-indol-3-yl)methanone, RI(ZB5MS) 3083, TOF01347-Centroided.7rw	<b>501.</b>	Mephedrone, acetyl- Mephedrone, TFA- Fluoroamphetamine Ac	<b>565.</b> N-(2-Methoxyethyl),N-isopropyl-2-(1-pentyl-1H-indol-3-yl)-4-thiazaolemethanamine
<b>486.</b>	1-butyl-1H-indole, RI(ZB5MS) 1525, TOF01299-Centroided.cdf	<b>502.</b>	Fluoroamphetamine PrO	<b>566.</b> 1-benzyl-4-methylpiperazine\$\$MBZP
<b>487.</b>	1-hexyl-1H-indole, RI(ZB5MS) 1727, TOF01299-Centroided.cdf	<b>503.</b>	FMA Ac	<b>567.</b> 1,4-dibenzylpiperazine
<b>488.</b>	1-pentyl-1H-indole, RI(ZB5MS) 1620, TOF01287-Centroided.cdf	<b>504.</b>	FMA -M (-OH) 2Ac	<b>568.</b> 1-(1,3-benzodioxol-5-yl)-2-(benzylamino)propan-1-one
<b>489.</b>	1-heptyl-1H-indole, RI(ZB5MS) 1827, TOF01338-Centroided.7rw	<b>505.</b>	FMA -M(HO-) 2PRO	<b>569.</b> Phenylephrine
<b>490.</b>	1-propyl-1H-indole, RI(ZB5MS) 1425, TOF01325-Centroided.7rw	<b>506.</b>	FMA -M(HO-) 2TFA	<b>570.</b> 5-MeOMiPT\$\$5-MeO-methylisopropiltryptamin
<b>491.</b>	3-(naphthalen-1-ylmethyl)-1-propyl-1H-indole, RI(ZB5MS) 2757, TOF01409.7rw	<b>507.</b>	FMA -Pro	<b>571.</b> 5-MeDipt\$\$5-MeO-dilisopropiltryptamin
<b>492.</b>	trimethyl(5-(2-methylnonan-2-yl)-2-((1S,3S)-3-(trimethylsilyloxy)cyclohexyl)phenoxy)silane, RI(ZB5MS)	<b>508.</b>	TFMPP	<b>572.</b> 4-AcDipt\$\$4-Ac-dilisopropiltryptamin
<b>493.</b>	trimethyl(5-(2-methylnonan-2-yl)-2-((1S,3R)-3-(trimethylsilyloxy)cyclohexyl)phenoxy)silane, RI(ZB5MS)	<b>509.</b>	TFMPP HFB	<b>573.</b> 4-AcMiPT\$\$4-Ac-methylisopropiltryptamin
<b>494.</b>	(1S,3S)-3-(2-acetoxy-4-(2-methylnonan-2-yl)phenyl)cyclohexyl acetate, RI(ZB5MS) 2756, TOF01304-C	<b>510.</b>	TFMPP -M(HO-) 2Ac	<b>574.</b> 4-OHDipt\$\$4-OH-diisopropiltryptamin
<b>495.</b>	(1R,3S)-3-(2-acetoxy-4-(2-methylnonan-2-yl)phenyl)cyclohexyl acetate, RI(ZB5MS) 2749, TOF01304-C	<b>511.</b>	TFMPP -M(HO-) 2TFA	<b>575.</b> DPT\$\$dipropiltryptamin
<b>496.</b>	2-((1S,3S)-3-hydroxycyclohexyl)-5-(2-methylnonan-2-yl)phenol,	<b>512.</b>	Mefedrone	<b>576.</b> MIPT\$\$methylisopropiltryptamin
		<b>513.</b>	Salvinorin A	
		<b>514.</b>	Salvinorin B	
		<b>515.</b>	CP47,497-C8 E-izomer	
		<b>516.</b>	CP47,497-C8 Z-izomer	
		<b>517.</b>	Salvinorin C	
		<b>518.</b>	Mefedrone (4-MMC)	
		<b>519.</b>	O-2482 (Naphyrone) 1-(2-naphthyl)-2-(1-pyrrolidinyl)-1-pentanone	
		<b>520.</b>	Desoxypipradrol (2-DPMP)	
		<b>521.</b>	2C-B AC	
		<b>522.</b>	2C-B PFP	
		<b>523.</b>	2C-B PrO	
		<b>524.</b>	2C-B TFA	
		<b>525.</b>	Mescaline 2AC	
		<b>526.</b>	Mescaline 2TFA	
		<b>527.</b>	Mescaline PFP	
		<b>528.</b>	Mescaline PrO	
		<b>529.</b>	DIMETHOCAINE	
		<b>530.</b>	DIMETHOCAINE-AC	
		<b>531.</b>	DIMETHOCAINE-PFP	
		<b>532.</b>	DIMETHOCAINE-PRO	
		<b>533.</b>	DIMETHOCAINE-TFA	
		<b>534.</b>	a-PBP	
		<b>535.</b>	25-C-NBOMe Ac	
		<b>536.</b>	25-C-NBOMe PFP	
		<b>537.</b>	25-C-NBOMe PrO	
		<b>538.</b>	25-C-NBOMe TFA	
		<b>539.</b>	a-PVT	
		<b>540.</b>	a-PVT	
		<b>541.</b>	5-IT	
		<b>542.</b>	AH 7921	
		<b>543.</b>	AH-7921	
		<b>544.</b>	5-IT	
		<b>545.</b>	MT-45	
		<b>546.</b>	α-Tocopherol acetate	
		<b>547.</b>	FUB-PB-22 marker TMS	
		<b>548.</b>	584 5-MeOAMT\$\$5-MeO-alphamethyltryptamin	
		<b>549.</b>	584 5-MeOAMT\$\$5-MeO-alphamethyltryptamin	
		<b>550.</b>	584 5-MeOAMT\$\$5-MeO-alphamethyltryptamin	

596.	AB-PINACA-M1 (COOH), TMS-	636.	AB-PINACA-M6 (3-COOH), methyl-	672.	JWH-019 5-hydroxyindole metabolite
597.	ADBICA	637.	AB-PINACA-M5 (4-OH alk), methyl-	673.	JWH-019 N-(5-hydroxyhexyl) metabolite
598.	ADBICA-5F	638.	FUB-PB-22 M1 (marker), ethyl-	674.	JWH-019 N-(6-hydroxyhexyl) metabolite
599.	CP-47,497-C8 isomer, diacetyl-	639.	FUB-PB-22 M2, dimethyl-	675.	JWH-073 2-hydroxyindole metabolite
600.	CP-47,497-C8 isomer, diPFP-	640.	FUB-PB-22 M2, diTMS	676.	JWH-073 N-(2-hydroxybutyl) metabolite
601.	CP-47,497-C8 isomer, diTFA-	641.	FUB-PB-22 M2, monomethyl-	677.	JWH-073 N-(3-hydroxybutyl) metabolite
602.	CP-47,497-C8, di-TMS-	642.	FUB-PB-22 M2, PFPA/PFPOH	678.	JWH-073 N-(4-hydroxybutyl) metabolite
603.	CP-47,497-C8, diacetyl-	643.	AB-CHMINACA M1 (marker), PFP-	679.	JWH-081 4-hydroxynaphthyl metabolite
604.	CP-47,497-C8, diPFP-	644.	AB-FUBINACA M1 PFP-	680.	JWH-081 N-(4-hydroxypentyl) metabolite
605.	CP-47,497-C8, diTFA-	645.	AB-PINACA-M1 (COOH), PFP-	681.	JWH-081 N-(5-hydroxypentyl) metabolite
606.	CP47,497-C8	646.	AB-PINACA-M2 (COOH, oxo=), PFP-	682.	JWH-122 N-(4-hydroxypentyl) metabolite
607.	CP47,497-C8 isomer	647.	??? FUB-PB-22 M-OH PFP	683.	JWH-122 N-(5-hydroxypentyl) metabolite
608.	CP-47,497-C8 isomer, methyl-	648.	FUB-PB-22 marker PFP	684.	JWH-200 4-hydroxyindole metabolite
609.	CP-47,497-C8, methyl-	649.	SDB-006	685.	JWH-200 5-hydroxyindole metabolite
610.	FUB-PB-22-ACID-OH-TMS	650.	(E)-4-Chloro-N-(1-(4-nitrophenylethyl)piperidin-2-ylidene)sulfonamide	686.	JWH-200 6-hydroxyindole metabolite
611.	AB-FUBINACA M (...indazol-3-carbonic acid), methyl-	651.	W-15	687.	JWH-200 7-hydroxyindole metabolite
612.	AB-FUBINACA M1, bis-TMS-	652.	Naphthalene, 1-methoxy-	688.	JWH-203 N-(4-hydroxypentyl) metabolite
613.	AB-FUBINACA M1, methyl-, N-TMS-	653.	Silane, trimethyl(1-naphthalenyl)oxy-	689.	JWH-203 N-(5-hydroxypentyl) metabolite
614.	AB-FUBINACA M2 (Indazol-OH), dimethyl-	654.	XLR11 M28 (-COOH)	690.	JWH-210 N-(4-hydroxypentyl) metabolite
615.	AB-FUBINACA M2 (Indazol-OH), methyl-, acetyl-	655.	degradan2cyclo Me	691.	JWH-210 N-(5-hydroxypentyl) metabolite
616.	AB-FUBINACA, bis-TMS-	656.	XLR11 M27 (-COOH)	692.	JWH-250 5-hydroxyindole metabolite
617.	PB-22 M2 (COOCH <sub>3</sub> , OTMS)	657.	degradant Me	693.	JWH-250 N-(4-hydroxypentyl) metabolite
618.	PB-22 M2 diTMS	658.	XLR11 M28 (-COOH)	694.	JWH-250 N-(5-hydroxypentyl) metabolite
619.	PB-22 M2 methyl-	659.	degradant TMS	695.	JWH-398 N-(4-hydroxypentyl) metabolite
620.	PB-22 M2 methyl- acetyl-	660.	5-fluoro-AKB48 N-(5-hydroxypentyl) metabolite	696.	MDPV metabolite
621.	PB-22 M3 methyl-	661.	AB-PINACA N-(5-hydroxypentyl) metabolite	697.	Normephedrone
622.	PB-22 M3 TMS	662.	AKB48 N-(4-hydroxypentyl) metabolite	698.	RCS-4 4-hydroxyphenyl metabolite
623.	PB-22 M4 (Alk-COOH), dimethyl-	663.	AM2201 5-hydroxyindole metabolite	699.	RCS-4 M10 Metabolite
624.	PB-22 M5 (di-OH), dimethyl-	664.	metabolite	700.	RCS-4 M11 metabolite
625.	PB-22F M2 (alk-OH) diTMS	665.	AM2201 6-hydroxyindole metabolite	701.	RCS-4 M9 metabolite
626.	PB-22F M2 (alk-OH) methyl-	666.	metabolite	702.	RCS-4 N-(4-hydroxypentyl) metabolite
627.	PB-22F M3 (des-F, COOH) dimethyl-	667.	AM2201 7-hydroxyindole metabolite	703.	RCS-4 N-(5-hydroxypentyl) metabolite
628.	PB-22F M3 (des-F, COOH) diTMS	668.	metabolite	704.	UR-144 N-(4-hydroxypentyl) metabolite
629.	PB-22F M4 (Aryl-OH) dimethyl-	669.	AM2201 N-(4-hydroxypentyl) metabolite	705.	XLR11 N-(4-hydroxypentyl) metabolite
630.	AB-CHMINACA M2 (3-COOH), methyl-	670.	JWH-018 N-(2-hydroxypentyl) metabolite	706.	a-
631.	AB-CHMINACA M3 (OH), diTMS-	671.	JWH-018 N-(3-hydroxypentyl) metabolite		
632.	AB-CHMINACA M3 (OH), methyl-		JWH-018 N-(4-hydroxypentyl) metabolite		
633.	AB-CHMINACA M3 (OH), methyl-, O-acetyl-		JWH-018 N-(5-hydroxypentyl) metabolite		
634.	AB-CHMINACA M4 (2'-OH), methyl- O-acetyl-				
635.	AB-CHMINACA M4 (2'-OH), methyl-				

	Pyrrolidinopentiophenone metabolite	<b>738.</b>	hydroxypentyl) metabolite JWH 250 5-hydroxyindole metabolite	<b>767.</b>	acid metabolite, methyl-(thermal isomer)
<b>707.</b>	(±)-JWH 018 N-(2-hydroxypenyl) metabolite	<b>739.</b>	JWH 250 N-(4-hydroxypentyl) metabolite	<b>768.</b>	XLR11 (-F, COOH) degradant, methyl-XLR11 (-C2H4F, 3-COOH)
<b>708.</b>	(±)-JWH 018 N-(3-hydroxypentyl) metabolite	<b>740.</b>	JWH 250 N-(5-hydroxypentyl) metabolite		# UR-144 M (-C2H4, 3-COOH) thermoisomer, methyl-
<b>709.</b>	(±)-JWH 018 N-(4-hydroxypentyl) metabolite	<b>741.</b>	JWH 398 N-(4-hydroxypentyl) metabolite	<b>769.</b>	XLR11 M28 # UR-144 # TMCP-018, N-pentanoic acid metabolite, methyl-
<b>710.</b>	(±)-UR-144 N-(4-hydroxypentyl) metabolite	<b>742.</b>	JWH-018 N-(5-hydroxypentyl) metabolite-d5	<b>770.</b>	MMB-2201
<b>711.</b>	5-fluoro-AKB48 N-(5-hydroxypentyl) metabolite	<b>743.</b>	MDPV metabolite 2	<b>771.</b>	MMB-2201 M (-COOH)
<b>712.</b>	a-Pyrrolidinopentiophenone metabolite 1	<b>744.</b>	JWH-022(indazol)\$\$\$3-(1-Naphthoyl)-1-(pent-4-enyl)indazol\$\$\$ <chem>InChI=1/C24H21NO/c1-2-3-8-16-25-1</chem>	<b>772.</b>	TMS MMB-2201 marker, TMS-
<b>713.</b>	AB-PINACA N-(5-hydroxypentyl) metabolite	<b>745.</b>	JWH-018(indazol) N-(5-hydroxypentyl) metabolite\$\$\$ <chem>InChI=1/C23H22N2O2/c26-16-7-1-6-15-25-21-1</chem>	<b>773.</b>	MMB-2201 marker, ethyl-
<b>714.</b>	AKB48 N-(4-hydroxypentyl) metabolite	<b>746.</b>	AM(indazol)-2201-C5-chain-OH-TMS-iso-3\$\$	<b>774.</b>	MMB-2201 marker, di-TMS-
<b>715.</b>	AKB48 N-(4-hydroxypentyl) metabolite	<b>747.</b>	AM(indazol)-2201-C5-chain-OH-TMS-iso-2\$\$	<b>775.</b>	MMB-2201 / MMB-2201 marker, methyl-
<b>716.</b>	JWH 018 N-(4-oxo-pentyl) metabolite		AM(indazol)-2201-C5-chain-OH-TMS-iso1\$\$	<b>776.</b>	MMB-2201
<b>717.</b>	JWH 018 N-(5-hydroxypentyl) metabolite	<b>748.</b>	AM(indazol)-2201-C5-chain-OH-TMS-iso-4\$\$	<b>777.</b>	JWH-018(N) (dealkyl-HO-indazol) isomer-di TMS
<b>718.</b>	JWH 019 5-hydroxyindole metabolite	<b>749.</b>	JWH-018(Indazol)-5OH-TMS	<b>778.</b>	Ether\$\$\$ <chem>(hydroxy-1H-indazol-3-yl)(naphthalen-1-yl)m</chem>
<b>719.</b>	JWH 019 N-(5-hydroxyhexyl) metabolite	<b>750.</b>	JWH-018(Indazole)-5-OH-TMS\$\$ <chem>InChI=1/C26H30N2O2Si/c1-31(2,3)30-19-10-4-9-18-28-24-17-8-7-1</chem>	<b>779.</b>	JWH-018(N) (dealkyl-HO-naphtyl isomer-2 -di TMS
<b>720.</b>	JWH 019 N-(6-hydroxyhexyl) metabolite	<b>751.</b>	JWH-018(Indazole)-5-COOH-	<b>780.</b>	Ether\$\$\$ <chem>(hydroxy-1H-indazol-3-yl)(naphthalen-1-yl)</chem>
<b>721.</b>	JWH 073 2-hydroxyindole metabolite	<b>752.</b>	JWH-018(Indazole)-5-COOH-TMS\$\$ <chem>InChI=1/C26H28N2O3Si/c1-32(2,3)31-24(29)17-8-9-18-28-23-16</chem>	<b>781.</b>	JWH-018(N) (dealkyl-HO-indazol) isomer-3 di TMS
<b>722.</b>	JWH 073 N-(2-hydroxybutyl) metabolite	<b>753.</b>	THJ2201-M5 (-COOH) Me	<b>782.</b>	Ether\$\$\$
<b>723.</b>	JWH 073 N-(3-hydroxybutyl) metabolite	<b>754.</b>	THJ2201-M5 (-COOH) TMS	<b>783.</b>	JWH-018(N) dealkyl-HO-naphtoyl isomer-2 di TMS
<b>724.</b>	JWH 073 N-(4-hydroxybutyl) metabolite	<b>755.</b>	THJ2201-M1 (5-OH) TMS	<b>784.</b>	Ether
<b>725.</b>	JWH 081 4-hydroxynaphthyl metabolite	<b>756.</b>	THJ2201-M (-C2-COOH) TMS	<b>785.</b>	JWH-018(N) (dealkyl-HO-indazol) isomer-3 di TMS
<b>726.</b>	JWH 081 N-(4-hydroxypentyl) metabolite	<b>757.</b>	THJ2201-M (C2-COOH) Me	<b>786.</b>	Ether\$\$\$ <chem>(hydroxy-1H-indazol-3-yl)(naphthalen-1-yl)methanon</chem>
<b>727.</b>	JWH 081 N-(5-hydroxypentyl) metabolite	<b>758.</b>	Quinoline, 8-methoxy- AKB48-M1-TMS	<b>787.</b>	JWH-018(N) (dealkyl-2*HO-indazol) isomer\$\$\$ <chem>(dihydroxy-1H-indazol-3-yl)(naphthalen-1-yl)methanon</chem>
<b>728.</b>	JWH 122 N-(4-hydroxypentyl) metabolite	<b>759.</b>	THJ-2201 M2 (-F, COOH), TMS	<b>788.</b>	MDMB-CHMINACA, TMS #
<b>729.</b>	JWH 122 N-(5-hydroxypentyl) metabolite	<b>760.</b>	THJ-2201 M1 (-C2H4F, COOH), TMS	<b>789.</b>	MDMB-CHMINACA, TMS
<b>730.</b>	JWH 200 4-hydroxyindole metabolite	<b>761.</b>	THJ-2201 M1 (-C2H4F, COOH), TMS-	<b>790.</b>	MDMB-CHMINACA marker
<b>731.</b>	JWH 200 5-hydroxyindole metabolite	<b>762.</b>	AM-2201 (-C2H4F, 3-COOH), methyl-	<b>791.</b>	TMS # MDB-CHMINACA marker TMS
<b>732.</b>	JWH 200 6-hydroxyindole metabolite	<b>763.</b>	THJ-2201-M2 (-F, Alk-COOH), methyl-	<b>792.</b>	MDMB-CHMINACA M2, diTMS # MDB-CHMINACA M2, diTMS
<b>733.</b>	JWH 200 7-hydroxyindole metabolite	<b>764.</b>	THJ-2201-M1 (-C2H4F, COOH), methyl-		MDMB-CHMINACA M1, TMS # MDB-CHMINACA M1, TMS
<b>734.</b>	JWH 203 N-(4-hydroxypentyl) metabolite	<b>765.</b>	THJ-2201-M4 (-F, Alk-4-en, indazol-OH), methyl-		MDMB-CHMINACA # MDB-CHMINACA
<b>735.</b>	JWH 203 N-(5-hydroxypentyl) metabolite	<b>766.</b>	XLR11 M28 # UR-144 # TMCP-018, N-pentanoic acid metabolite, methyl-		
<b>736.</b>	JWH 210 N-(4-hydroxypentyl) metabolite				
<b>737.</b>	JWH 210 N-(5-hydroxypentyl) metabolite				

793.	MDB-CHMINACA TMS-		HO-indol-) isomer-1 2TMS	856.	JWH-250-M (dealkyl-HO-phenyl-) isomer-2 2AC
794.	CBL-2201	825.	JWH-251-M (HO-chain-) isomer-1 TMS	857.	JWH-250-M (HO-chain-) isomer-1 AC
795.	1-Naphthalenol	826.	JWH-251-M (HO-chain-) isomer-3 TMS	858.	JWH-250-M (HO-chain-) isomer-1 TMS
796.	QCBL(N)-2201-M marker, methyl-	827.	JWH-203-M (HO-chain-) isomer-2 AC	859.	JWH-250-M (HO-phenyl-HO-chain-) isomer-3 2AC
797.	MDB-CHMINACA	828.	JWH-203-M (HO-chain-) isomer-1 AC	860.	JWH-250-M (HO-phenyl-HO-chain-) isomer-4 2AC
798.	ADB-CHMINACA marker TMS-	829.	AB-001-M (dealkyl-HO-adamantyl) isomer-1 2TMS	861.	JWH-250-M (HO-phenyl-HO-chain-) isomer-3 2TMS
799.	ADB-CHMINACA marker 2TMS-	830.	JWH-073-M (dealkyl-HO-naphthalene-) isomer-2 2TMS	862.	JWH-250-M (HO-phenyl-HO-chain-) isomer-4 2TMS
800.	Ketoprofen TMS	831.	JWH-073-M (dealkyl-HO-naphthalene-) isomer-1 2TMS	863.	JWH-250-M (HO-phenyl-oxo-) isomer-1 AC
801.	JWH-250-M (HO-chain-) isomer-1	832.	JWH-073-M (dealkyl-HO-indol-) isomer-2 2TMS	864.	JWH-250-M (HO-phenyl-oxo-) isomer-2 AC
802.	JWH-250-M (HO-phenyl-HO-chain-) isomer-3	833.	JWH-073-M (dealkyl-HO-indol-) isomer-1 2TMS	865.	JWH-250-M (HO-phenyl-oxo-) isomer-1 TMS
803.	JWH-250-M (HO-phenyl-HO-chain-) isomer-4	834.	JWH-203-M (HO-chain-) isomer-1	866.	JWH-250-M (HO-phenyl-oxo-) isomer-2 TMS
804.	JWH-250-M (HO-phenyl-oxo-) isomer-2	835.	JWH-203-M (dealkyl-HO-indol) isomer-1 2TMS	867.	JWH-250-M (HO-phenyl-) TMS
805.	JWH-210-M (dealkyl-di-HO-ethylnaphthalene) Me2TMS	836.	JWH-203-M (HO-chain-HO-indol) isomer-1 2TMS	868.	JWH-251-M (HO-chain-HO-methylphenyl-) isomer-2 2TMS
806.	JWH-073-M (dealkyl-HO-naphthalene-) isomer-1 2Me	837.	JWH-203-M (HO-chain-) isomer-2 TMS	869.	RCS-4
807.	JWH-073-M (dealkyl-HO-indol-) isomer-2 2Me	838.	JWH-203-M (HO-chain-) isomer-1 TMS	870.	RCS-4-M (HO-indol-N-dealkyl-) isomer-2 2TMS
808.	JWH-073-M (dealkyl-HO-indol-) isomer-1 2Me	839.	AB-001-M (dealkyl-HO-adamantyl-) isomer-1	871.	RCS-4-M (HO-phenyl-HO-chain-) 2AC
809.	JWH-018-M (HOOC-) Me	840.	AB-001-M (dealkyl-HO-adamantyl-) isomer-2 TMS	872.	RCS-4-M (HO-phenyl-HO-chain-) 2TMS
810.	AB-001-M (HO-adamantyl-) isomer-1 TMS	841.	AB-001-M (dealkyl-HO-adamantyl-) isomer-3 TMS	873.	RCS-4-M (HO-phenyl-HO-chain-)
811.	AB-001-M (HO-adamantyl-) isomer-2 TMS	842.	AB-001-M (dealkyl-HO-adamantyl-) isomer-3 2TMS	874.	RCS-4-M (HO-phenyl-oxo-)
812.	AB-001-M (HO-adamantyl-) isomer-3 TMS	843.	JWH-250-M (dealkyl-HO-adamantyl-) isomer-2 2TMS	875.	RCS-4-M (O-demethyl-HO-chain-) isomer-2 2TMS
813.	AB-001-M (3-HO-adamantyl-) isomer-1 3TMS	844.	JWH-250-M (dealkyl-HO-phenyl-) isomer-2 2TMS	876.	RCS-4-M (O-demethyl-HO-chain-) isomer-2
814.	AB-001-M (HO-chain-HO-adamantyl-) isomer-1 2TMS	845.	JWH-018-M (HO-chain-HO-indol-) 2TMS	877.	RCS-4-M (O-demethyl-HO-chain-) isomer-2 2AC
815.	AB-001-M (dealkyl-HO-adamantyl-) isomer-3 MeTMS	846.	JWH-018-M (HO-chain-HO-naphthalene-) isomer-1 2TMS	878.	RCS-4-M (O-demethyl-N-dealkyl-) 2TMS
816.	AB-001-M (dealkyl-HO-adamantyl-) isomer-2 MeTMS	847.	JWH-018-M (HO-chain-HO-indol-) TFA/artifact (pentenyl)	879.	RCS-4-M (O-demethyl-oxo-) AC
817.	AB-001-M (dealkyl-HO-adamantyl-) isomer-1 MeTMS	848.	JWH-210-M (3-HO-) isomer-1 3TMS	880.	RCS-4-M (O-demethyl-oxo-) TMS
818.	AM-694-M (HO-chain-) isomer-2 TMS	849.	JWH-210-M (HO-ethyl-HO-chain-) isomer-1 2TMS	881.	RCS-4-M (O-demethyl-oxo-)
819.	AM-694-M (HO-chain-) isomer-1 TMS	850.	JWH-210-M (HO-ethyl-HO-indol-) 2TMS	882.	AM-694-M (HOOC-) Me
820.	AM-694-M (defluoro-HO-chain-) TMS	851.	JWH-210-M (HO-ethyl-) TMS	883.	AM-694-M (HOOC-) TMS
821.	JWH-073-M (dealkyl-HO-naphthalene-) isomer-2 2Me	852.	JWH-210-M (oxo-ethyl-HO-chain-) TMS	884.	UR-144 HY TMS
822.	JWH-251-M (HO-chain-) isomer-1	853.	JWH-250-M (3-HO-) isomer-1 3TMS	885.	UR-144 HY/artifact
823.	JWH-251-M (HO-chain-) isomer-1 AC	854.	JWH-250-M (3-HO-) isomer-2 3TMS	886.	UR-144 artifact
824.	JWH-251-M (HO-chain-	855.	JWH-250-M (dealkyl-HO-indol-) isomer-2 2AC	887.	UR-144
				888.	UR-144 (F-chain-)
				889.	UR-144 (F-chain-) artifact
				890.	PB-22-M HY PFP
				891.	AKB-48-M (HO-adamantyl-) TMS
				892.	AKB-48-M (di-HO-) 2TMS
				893.	AKB-48-M (tri-HO-) 3TMS

894.	AKB-48-M (tri-HO-)2 3TMS	isomer-1 +H2O (dehydro) 2TMS	975.	8-Hydroxyquinoline TMS
895.	AKB-48-M (dealkyl-HO- adamantyl-) 2TMS	933. UR-144-M (di-HO-) isomer-2 +H2O (dehydro) 2TMS	976.	MAM-2201
896.	AKB-48-M (dealkyl-di-HO- adamantyl-) 3TMS	934. UR-144-M (di-HO-) isomer-2 +H2O 3TMS	977.	AB-CHMINACA-M (HOOC- HO-) 2TMS
897.	AKB-48F-M (HO- adamantyl-HOOC-) 2TMS	935. UR-144-M/artifact (HO- cycle-) TMS	978.	AB-CHMINACA-M (HOOC-) TMS
898.	CP 47,497 C8 (cis)	936. UR-144-M/artifact (HO- chain-) +H2O (dehydro) TMS	979.	ADB-CHMINACA-M (HOOC-) TMS
899.	CP 47,497 C8 (trans)	937. UR-144-M/artifact (HO- chain-) +H2O 2TMS	980.	ADB-CHMINACA-M (HOOC-HO-) 2TMS
900.	CP 47,497 C8 2AC 1	938. UR-144-M/artifact (di-HO- ) isomer-1 +H2O 3TMS	981.	AB-FPINACA-M (HOOC-) TMS
901.	CP 47,497 C8 2AC 2	939. UR-144-M/artifact (di-HO- ) isomer-1 +H2O (dehydro) 2TMS	982.	ADB-CHMINACA (MeO-)
902.	CP 47,497 C8 2TFA1	940. UR-144-M/artifact (di-HO- ) isomer-2 +H2O (dehydro) 2TMS	983.	CBL-2201
903.	CP 47,497 C8 2TFA2	941. UR-144-M/artifact (di-HO- ) isomer-2 +H2O 3TMS	984.	1-Naphthol AC
904.	CP 47,497 C8 2TMS	942. UR-144-M/artifact (HO- heptyl-)	985.	1-Naphthol TMS
905.	CP 47,497 C8 TFA1	943. UR-144-M/artifact (HO- chain-)	986.	1-Naphthol
906.	CP 47,497 C8 TFA2	944. PB-22	987.	AB-PINACA
907.	JWH-073-M/artifact (HO- naphthalene-HO-chain-) isomer-1 2TMS	945. PB-22F	988.	THJ-2201
908.	JWH-073-M/artifact (HO- naphthalene-) isomer-2 TMS	946. AKB-48F	989.	THJ-2201-M/artifact (defluoro-di-HO-) 2TMS
909.	JWH-073-M/artifact (HO- naphthalene-) isomer-1 TMS	947. AKB-48	990.	THJ-2201-M/artifact (defluoro-HOOC-HO-) 2TMS
910.	JWH-073-M/artifact (HO- naphthalene-HO-chain-) isomer-2 2TMS	948. AM-2233-M (nor-) AC	991.	THJ-2201-M/artifact (HO- naphthalene-) TMS
911.	JWH-018-M (HO-chain-) isomer-1 TMS	949. AM-2233	992.	THJ-2201-M (dealkyl-HO- indazol-) 2TMS
912.	JWH-018-M (HO-chain-) isomer-1 TFA	950. AM-2233-M (nor-)	993.	THJ-2201-M (defluoroethyl-HOOC-) TMS
913.	JWH-018-M (HO-chain-) isomer-2 TFA	951. PB-22-M HY (HO-chain-) 2TMS	994.	THJ-2201-M (defluoro-HO- ) TMS
914.	JWH-018-M (HO-chain-) isomer-1 AC	952. PB-22-M HY (oxo-) TMS	995.	THJ-2201-M (defluoro- HOOC-) TMS
915.	JWH-018-M (HO-chain-) isomer-2 AC	953. PB-22-M HY TMS	996.	FUBIMINA
916.	JWH-018-M (HO-chain-) isomer-1	954. PB-22F-M HY TMS	997.	Naphtol-1 PFP
917.	JWH-018-M (HO-chain-) isomer-2 TMS	955. PB-22F-M HY (HOOC-) 2TMS	998.	THJ-2201-M (-F, HO-) PFP
918.	JWH-073-M (HO-chain-) isomer-1 TMS	956. PB-22F-M HY PFP	999.	THJ-2201-M (-F,COOH-) PFP
919.	JWH-073-M (HO-chain-) isomer-2 TMS	957. JWH-175	1000.	THJ-2201 M (alkyl HO-) PFP
920.	AM-694	958. AM-2201	1001.	THJ-2201 M1 (- C2H4F+COOH) PFPr
921.	JWH-018	959. AB-FUBINACA	1002.	AB-PINACA-M3.2 (2COOH), 2TMS-
922.	JWH-073	960. AB-FPINACA	1003.	DOVES Tablet Uncown compaund #1
923.	JWH-203	961. AB-CHMINACA	1004.	DOVES Tablet Uncown compaund #2
924.	JWH-210	962. BB-22-M HY PFP	1005.	fenozeepam
925.	JWH-250	963. BB-22-M HY (HO-) PFP	1006.	Butylone (bk-MBDB)   1- (1,3-benzodioxol-5-yl)-2- (methylamino)butan-1-one
926.	JWH-251	964. AB-FUBINACA-M (indazole HOOC-) TMS	1007.	Tramadol
927.	UR-144-M/artifact (di-HO- ) isomer-1	965. AB-FUBINACA-M (HOOC-) TMS	1008.	Diffusion pump fluid
928.	UR-144-M/artifact (di-HO- ) isomer-2	966. AB-PINACA-M (oxo-HOOC- ) TMS	1009.	JWH-210
929.	UR-144-M (HO-heptyl-) +H2O (dehydro-) TMS	967. AB-PINACA-M (HOOC-) TMS	1010.	JWH-250
930.	UR-144-M (HO-heptyl-) +H2O 2TMS	968. FDU-PB22	1011.	MDPBP
931.	UR-144-M (di-HO-) isomer-1 +H2O 3TMS	969. FUB-PB22	1012.	O-2482
932.	UR-144-M (di-HO-)	970. JWH-307	1013.	Desoxypipradrol
		971. JWH-081	1014.	N-Acetyl-2- Diphenylmethylpyrrolidine (?????)
		972. STS-135	1015.	N-Acetyl Desoxypipradrol
		973. AB-001		
		974. 8-Hydroxyquinoline		

<b>1016.</b>	JWH-073	<b>1076.</b>	Tetrahydrocannabinol	<b>1137.</b>	AMT, Acetone
<b>1017.</b>	JWH-073	<b>1077.</b>	Cannabinol	<b>1138.</b>	Dimethocaine, Acetone
<b>1018.</b>	DBZP ????	<b>1078.</b>	MDAI	<b>1139.</b>	Dimethocaine, N,N-dimethylaminebenzaldehyde
<b>1019.</b>	AM-694	<b>1079.</b>	JWH-307	<b>1140.</b>	AMT, N,N-dimethylaminebenzaldehyde
<b>1020.</b>	AM-1220	<b>1080.</b>	N-TFA-MXE	<b>1141.</b>	AMT, Acetone cond.
<b>1021.</b>	3-(4-Metoxybenzoyl)-1-butylindol	<b>1081.</b>	JWH-200	<b>1142.</b>	dehydro, JWH-122
<b>1022.</b>	3-FMC	<b>1082.</b>	JWH-018	<b>1143.</b>	URB-602
<b>1023.</b>	3-FisoMC	<b>1083.</b>	Caffeine	<b>1144.</b>	3-isocyanatobiphenyl
<b>1024.</b>	6-desoxycodeine	<b>1084.</b>	JWH-022	<b>1145.</b>	5'-hydroxybiphenyl-3-carboxamide
<b>1025.</b>	4-FMC	<b>1085.</b>	4-MA	<b>1146.</b>	5'-hydroxy-N-(trimethylsilyl)biphenyl-3-carboxamide
<b>1026.</b>	Salvinorin A	<b>1087.</b>	N-Acetyl-4-MA	<b>1147.</b>	N-(trimethylsilyl)-5'-(trimethylsilyloxy)biphenyl-3-carboxamide
<b>1027.</b>	Salvinorin B	<b>1088.</b>	N-Acetyl-4-FA	<b>1148.</b>	Tropicamide
<b>1028.</b>	N-Acetyl-Pentylone	<b>1089.</b>	N-ethylcathinone	<b>1149.</b>	O-Acetyl-Tropicamide
<b>1029.</b>	JWH-203	<b>1090.</b>	iso-Pentedrone	<b>1150.</b>	Oxycodone
<b>1030.</b>	JWH-251	<b>1091.</b>	JWH-370	<b>1151.</b>	Fentanyl
<b>1031.</b>	Pentedrone	<b>1092.</b>	AM-2233	<b>1152.</b>	O-Acetyl-Oxycodone
<b>1032.</b>	Tofisopamum ??? (ne podtverzhden)	<b>1093.</b>	2C-I-NBOMe	<b>1153.</b>	BMDP
<b>1033.</b>	Salvinorin C	<b>1094.</b>	2C-P	<b>1154.</b>	JWH-122F
<b>1034.</b>	DON	<b>1095.</b>	N-Acetyl-MDTHIQ	<b>1155.</b>	AB-001
<b>1035.</b>	N-Acetyl-4-MEC	<b>1096.</b>	Phenobarbital	<b>1156.</b>	6-methyl-3-p-tolyl-1H-quinazoline-2,4-dione
<b>1036.</b>	N-acetyl Mefedrone	<b>1097.</b>	Benzonale	<b>1157.</b>	URB754
<b>1037.</b>	N-Acetyl-Pentedrone	<b>1098.</b>	Diazepam	<b>1158.</b>	TMCP-018
<b>1038.</b>	N-Acetyl-PMMA	<b>1099.</b>	AM-2201	<b>1159.</b>	URB754, N-TFA-
<b>1039.</b>	N-TFA-PMMA	<b>1100.</b>	JWH-018Cl	<b>1160.</b>	2,2,3,3-tetramethyl-N'-(2-oxo-1-pentylindolin-3-ylidene)cyclopropanecarbonhydrazide
<b>1040.</b>	JWH-018	<b>1101.</b>	Methyl stearate	<b>1161.</b>	Desmethylfenanyl
<b>1041.</b>	2C-I	<b>1102.</b>	JWH-018Br	<b>1162.</b>	2,2,3,3-tetramethyl-N'-(2-oxo-1-pentylindolin-3-ylidene)cyclopropanecarbonhydrazide
<b>1042.</b>	2C-E	<b>1103.</b>	MXE	<b>1163.</b>	2,2,2-trifluoro-N'-(2-oxo-1-pentylindolin-3-ylidene)acetohydrazide
<b>1043.</b>	Methoxetamine	<b>1104.</b>	Methandrostenolone	<b>1164.</b>	URB754, TMS-
<b>1044.</b>	2-Diphenylmethylpyrrolidine	<b>1105.</b>	N-Acetyl-2C-I	<b>1165.</b>	MPA, N-Acetyl-
<b>1045.</b>	N-Acetyl-Benzedrone	<b>1106.</b>	N,N-Diacetyl-2C-I	<b>1166.</b>	TMCP-200 (1)
<b>1046.</b>	Methedrone	<b>1107.</b>	N-Acetyl-MXE	<b>1167.</b>	TMCP-200 (2)
<b>1047.</b>	Benzedrone	<b>1108.</b>	O-2482	<b>1168.</b>	GBR-12935
<b>1048.</b>	Benzedrone	<b>1109.</b>	N-Acetyl-2C-E	<b>1169.</b>	Stanozolol
<b>1049.</b>	N-Acetyl-iso-Pentedrone (ne podtv!!!)	<b>1110.</b>	Artifact Naphyrone	<b>1170.</b>	Benzyl Benzoate
<b>1050.</b>	N-Acetyl-Methedrone	<b>1111.</b>	2C-C-NBOMe	<b>1171.</b>	Testosterone propionate
<b>1051.</b>	JWH-011	<b>1112.</b>	JWH-122	<b>1172.</b>	Testosterone isocaproate
<b>1052.</b>	JWH-011	<b>1113.</b>	Desomorphine	<b>1173.</b>	Testosterone Decanoate
<b>1053.</b>	Artifact MDPV	<b>1114.</b>	Levomycetin (O,O-Diacetyl-)	<b>1174.</b>	Testosterone Phenylpropionate
<b>1054.</b>	Artifact MDPBP	<b>1115.</b>	Levomycetin	<b>1175.</b>	α-Tocopheryl acetate
<b>1055.</b>	Artifact PVP	<b>1116.</b>	RCS-4-ortho (C4-homologue)	<b>1176.</b>	Amphetamine
<b>1056.</b>	CP47,497-C8 E-izomer	<b>1117.</b>	5-MeO-DALT	<b>1177.</b>	Testosterone enanthate
<b>1057.</b>	CP 47,497-C8 Z-izomer	<b>1118.</b>	3-TMCP-indol	<b>1178.</b>	Ephedrine
<b>1058.</b>	Nicotine	<b>1119.</b>	N-TFA-2C-C-NBOMe	<b>1179.</b>	Chlorphenamine
<b>1059.</b>	4-MEC	<b>1120.</b>	AM-2233Cl	<b>1180.</b>	Dphylline
<b>1060.</b>	AM-1220	<b>1121.</b>	Sibutramine	<b>1181.</b>	Dphylline, diacetate
<b>1061.</b>	3-(2-methoxybenzoyl)-1-pentylinol	<b>1122.</b>	Ethylone	<b>1182.</b>	Ephedrine, N-Acetyl
<b>1062.</b>	JWH-192 ?	<b>1123.</b>	MDTHIQ		
<b>1063.</b>	RCS-4	<b>1124.</b>	4-FMA		
<b>1064.</b>	Methamphetamine	<b>1125.</b>	AM-2233		
<b>1065.</b>	N-TFA-MDAI	<b>1126.</b>	MPPP		
<b>1066.</b>	MDAI	<b>1127.</b>	Pentyline		
<b>1067.</b>	N-TFA-5-APB	<b>1128.</b>	N-Acetyl-Ethylone		
<b>1068.</b>	N-TFA-6-APB	<b>1129.</b>	N-TFA-Ethylone		
<b>1069.</b>	MPA	<b>1130.</b>	JWH-081		
<b>1070.</b>	TFA-MPA	<b>1131.</b>	6-APB (it is NOT confirmed)		
<b>1071.</b>	Asaleptin	<b>1132.</b>	5-APB (it is NOT confirmed)		
<b>1072.</b>	JWH-019	<b>1133.</b>	Dimethocaine		
<b>1073.</b>	Oleamide	<b>1134.</b>	N-Acetyl-Dimethocaine		
<b>1074.</b>	N-TFA-4-MEC	<b>1135.</b>	N-Acetyl-AMT		
<b>1075.</b>	Cannabidiol	<b>1136.</b>	AMT		

1183.	Diacetylephedrine	ylsulfonyl)benzoate	dimethoxyphenyl)ethanamine
1184.	Benzoic acid, 2,5-dichloro-, methyl ester	1233. Phenolphthalein	1267. BZP-2201
1185.	MPA	1234. SEP-225,289 Acetone adduct	1268. LY-2183240
1186.	α-PVP	1235. SEP-225,289, Acetyl-	1269. Desmethyl Mescaline
1187.	CB-13	1236. Phenolphthalein, Acetyl-	1270. artefakt PHP
1188.	Furanamine	1237. Phenolphthalein, DiAcetyl-	1271. α-PHP
1189.	Furanamine, N-Acetyl-	1238. isomer MN-001	1272. Super degradant α-PHP (not confirmed)
1190.	Furanamine, N-Acetone-	1239. 1-benzyl-6-fluoro-1H-	1273. N-methyl-10,11-dihydro-5H-
1191.	TMCP-022	benzo[d]imidazol-2(3H)-one	dibenzo[a,d][7]annulene-5-carboxamide
1192.	MDMA	1240. (5-allyl-2-cyclopentyl-2,3,4,5-tetrahydro-1H-pyrido[4,3-b]indol-8-yl)(4-methylpiperidin-1-yl)methanone	1274. KL-OH
1193.	Nandrolone decanoate	1241. N-(1-amino-3,3-dimethyl-1-oxobutan-2-yl)-3-benzyl-5-fluoro-2-oxo-2,3-dihydro-1H-benzo[d]imidazole-1-c	1275. BB-22
1194.	Dimedrol	1242. (5-allyl-2-(tetrahydrothiophen-3-yl)-2,3,4,5-tetrahydro-1H-pyrido[4,3-b]indol-8-yl)(4-methylpiperidin-1-	1276. ADM-018
1195.	MDMA, N-Acetyl-	1243. O-2172	1277. TMCP-1220
1196.	TMCP-2232	1244. STS-135	1278. AB-FUBINACA
1197.	Ketamine	1245. AKB-48F	1279. ADBICA-F
1198.	A-836,339	1246. methyl 1-pentyl-1H-indole-3-carboxylate	1280. AB-FPINACA
1199.	A-834,735	1247. methyl 1-(5-fluoropentyl)-1H-indole-3-carboxylate	1281. 5Cl-AB-PINACA
1200.	Tributylamine	1248. BK-4	1282. AB-PINACA(-2H)
1201.	6-desoxymorphine	1249. CIK-4	1283. naphthalen-1-yl(1-(pent-4-en-1-yl)-1H-benzo[d]imidazol-2-yl)methanone
1202.	(1-(5-fluoropentyl)-1H-indol-3-yl)(pyridin-3-yl)methanone	1250. PB-22Cl	1284. (1-(5-chloropentyl)-1H-benzo[d]imidazol-2-yl)(naphthalen-1-yl)methanone
1203.	AKB48-2H	1251. Tiletamine	1285. ethyl 1-(5-chloropentyl)-1H-indole-3-carboxylate
1204.	(7-methoxy-1-pentyl-1H-indol-3-yl)(3,4,5-trimethylpiperazin-1-yl)methanone	1252. Allyl Mescaline	1286. 5-MeO-NBpBrT
1205.	ethyl 1-pentyl-1H-indole-3-carboxylate	1253. FluoroBenztropine	1287. 4-MeO-α-PVP
1206.	Boldenone 10-undecenoate	1254. ethyl 6-ethyl-4-oxo-1,4-dihydroquinoline-3-carboxylate	1288. Artefact 4-MeO-α-PVP
1207.	AKB48-2H	1255. ethyl 6-ethyl-4-oxo-1,4-dihydroquinoline-3-carboxylate	1289. Superdegradant 4-MeO-α-PVP
1208.	AKB48	1256. butyl 6-ethyl-4-oxo-1,4-dihydroquinoline-3-carboxylate	1290. 5-MeO-NBpBrT, N-Acetyl-
1209.	Diclofensine	1257. QCBL-022	1291. methyl 1-(4-fluorobenzyl)-1H-indole-3-carboxylate
1210.	Diclofensine	1258. N-(1-(6-methylpyridin-2-yl)propan-2-yl)acetamide	1292. CBM(N)-018
1211.	LR-5182	1259. N-acetyl-N-(1-(6-methylpyridin-2-yl)propan-2-yl)acetamide	1293. 4F-α-PVP Artefact
1212.	LR-5182	1260. 1-(6-methylpyridin-2-yl)propan-2-amine	1294. 4F-α-PBP
1213.	ACbm-022	1261. 1-(6-methylpyridin-2-yl)propan-2-amine	1295. 4F-α-PBP Artefact
1214.	ACBM	1262. 1-(6-methylpyridin-2-yl)-N-(propan-2-ylidene)propan-2-amine	1296. 4F-α-PVP
1215.	N-(naphthalen-1-yl)-1-(pent-4-enyl)-1H-indole-3-carboxamide	1263. 2C-B-NBOMe ME	1297. PB(N)-FUB
1216.	6'-methoxy-4-(2-methyloctan-2-yl)biphenyl-2-ol	1264. α-PVT	1298. JWH(N)-18Cl
1217.	AKB-48Cl	1265. Artefakt α-PVT	1299. JWH(N)-022
1218.	Heliamine	1266. 2-(4-(allyloxy)-3,5-	1300. bk-MDDMA
1219.	MDA-19F		1301. bk-MDDMA Degradant
1220.	2,2,2-trifluoro-N'-(1-(5-fluoropentyl)-2-oxoindolin-3-ylidene)acetohydrazide		1302. ethyl 1-(4-fluorobenzyl)-1H-indole-3-carboxylate
1221.	Iso-ethcathinone		1303. N-(2-(p-tolyl)cyclopropyl)acetamide
1222.	N-ethylcathinone		1304. N-methyl-2,3-dihydro-1H-inden-2-amine
1223.	Ethcathinone AC		1305. 6-fluoro-1-(naphthalen-1-ylmethyl)-2-(pyridin-3-yl)-1H-benzo[d]imidazole
1224.	N-Acetyl-iso-EC		1306. naphthalen-1-yl(1-pentyl-1H-benzo[d]imidazol-2-yl)methanone
1225.	UR-144F		1307. thienopentedrone
1226.	ACBM(N)		1308. N-methyl-N-(1-oxo-1-
1227.	ACBM(N)-022		
1228.	Artefact Benocyclidine		
1229.	Benocyclidine		
1230.	BTCPDE		
1231.	BTCPy		
1232.	quinolin-8-yl 4-methyl-3-(piperidin-1-		

	(thiophen-2-yl)pentan-2-yl)acetamide	3-carboxylate	M(desacetyl-, HO-, MeO-)
<b>1309.</b>	FDU-PB22	<b>1365.</b> methyl 1-(5-chloropentyl)-1H-indole-3-carboxylate	2PrO
<b>1310.</b>	RH-34	<b>1366.</b> NM-018EtOH	Acetylfentanyl M(HO-) isomer1 PFP
<b>1311.</b>	RH-34 artefact?	<b>1367.</b> ethyl 1-(pent-4-en-1-yl)-1H-indole-3-carboxylate	Acetylfentanyl M(HO-) isomer1 Ac
<b>1312.</b>	SDB-006F	<b>1368.</b> ethyl 1-(5-fluoropentyl)-1H-indole-3-carboxylate	Acetylfentanyl M(2HO-) 2PFP
<b>1313.</b>	SDB-006 (-2H)	<b>1369.</b> NM-018EtOH	Acetylfentanyl M(desacetyl-, HO-) 2PFP
<b>1314.</b>	CBL-022	<b>1370.</b> ethyl 1-(5-chloropentyl)-1H-indole-3-carboxylate	Acetylfentanyl M(desacetyl-, HO-, MeO-)
<b>1315.</b>	MMB-022	<b>1371.</b> ACBM(N)-BZ-F	2PFP
<b>1316.</b>	MBA-2201 artefact (-NH3)	<b>1372.</b> ACBM(N)-BZ-F	Acetylfentanyl
<b>1317.</b>	MMB-2201	<b>1373.</b> 1-Isocyanatoadamantane	M(desacetyl-, 2HO-) 3PFP
<b>1318.</b>	PB-FUB	<b>1374.</b> MBA-2201	Acetylfentanyl
<b>1319.</b>	$\alpha$ -PVP oxo- metabolite	<b>1375.</b> MBA-2201 artefact (-NH3)	M(desacetyl-, 2HO-) 2Ac
<b>1320.</b>	$\alpha$ -Pyrrolidinovalerophenone metabolite 1	<b>1376.</b> ACBM(N)-BZ-F	Acetylfentanyl M(nor-) ethylformat artifact
<b>1321.</b>	W-15	<b>1377.</b> EG-018	Acetylfentanyl M(desacetyl-)
<b>1322.</b>	MPhP-2201	<b>1378.</b> MDMB(N)-2201	Acetylfentanyl
<b>1323.</b>	QCBL(N-pir)-2201	<b>1379.</b> MDMB(N)-018Cl	MDBM-CHM artefact
<b>1324.</b>	THJ-018	<b>1380.</b> MDMB(N)-022	MDBM-CHMINACA
<b>1325.</b>	AM(N)-2201	<b>1381.</b> 5-APB-NBOMe	MDMB(N)-CHM
<b>1326.</b>	1-(4-fluorobenzyl)-1H-indole-3-carboxylic acid	<b>1382.</b> 5-MAPB-NBOMe	4-Methylbuphedrone
<b>1327.</b>	CBL(N)-2201	<b>1383.</b> 4-CMC	SDB-006
<b>1328.</b>	CBL(N)-022	<b>1384.</b> 5-MAPB	SDB-006
<b>1329.</b>	4F- $\alpha$ -PVP	<b>1385.</b> Tadalafil	MMB(N)-2201
<b>1330.</b>	$\alpha$ -PHP	<b>1386.</b> Yohimbine	methyl 1-(5-fluoropentyl)-1H-pyrrolo[2,3-c]pyridine-3-carboxylate
<b>1331.</b>	MDPV	<b>1387.</b> Pramipexole	Dimethocaine
<b>1332.</b>	Pregabalin	<b>1388.</b> MDMB(N)-018OH	$\alpha$ -PHP
<b>1333.</b>	MITRAGYNINE	<b>1389.</b> PX-01	DMBA(O)-CHM
<b>1334.</b>	AB-PINACA	<b>1390.</b> 2C-B	EMB(N)-CHM
<b>1335.</b>	ADBICA	<b>1391.</b> Acetylfentanyl M(HO-) isomer2 PrO	PMB(N)-CHM
<b>1336.</b>	AB-CHMINACA	<b>1392.</b> Acetylfentanyl M(HO-) isomer2 Ac	MBAcid(N)-CHM
<b>1337.</b>	MDMB(N)-CHM	<b>1393.</b> Acetylfentanyl M(desacetyl-, nor-) 2TFA	MBAcid(N)-CHM
<b>1338.</b>	SEP-225,289	<b>1394.</b> Acetylfentanyl M(desacetyl-, nor-) 2PrO	MMB(N)-CHM
<b>1339.</b>	NNEI	<b>1395.</b> Acetylfentanyl M(desacetyl-, nor-) 2PFP	Amfonelic acid
<b>1340.</b>	NNEI	<b>1396.</b> Acetylfentanyl M(desacetyl-) PFP	4-CMC
<b>1341.</b>	CBM-2201	<b>1397.</b> Acetylfentanyl M(desacetyl-) TFA	4-CMC, -TFA
<b>1342.</b>	PB-22F	<b>1398.</b> Acetylfentanyl M(nor-) PFP	4-CMC, -TFA
<b>1343.</b>	PB-22F	<b>1399.</b> Acetylfentanyl M(nor-) PrO	MDMB(N)-FUB
<b>1344.</b>	MMB(N)-018Cl	<b>1400.</b> Acetylfentanyl M(nor-) Ac	MPA(N)-2201
<b>1345.</b>	MMB(N)-022	<b>1401.</b> Acetylfentanyl M(nor-) TFA	Nomifensine
<b>1346.</b>	1-(benzo[d][1,3]dioxol-5-yl)-2-chloropropan-1-one	<b>1402.</b> Acetylfentanyl M(nor-)	Nomifensine, Acetone adduct-
<b>1347.</b>	MXP	<b>1403.</b> Acetylfentanyl M(HO-, MeO-) PrO	Nomifensine, Acetone adduct-
<b>1348.</b>	CBL-018	<b>1404.</b> Acetylfentanyl M(HO-, MeO-) PFP	Nomifensine, TFA-
<b>1349.</b>	MMB(N)-2201	<b>1405.</b> Acetylfentanyl M(HO-, MeO-) TMS	MDMB(N)-Bz-F
<b>1350.</b>	CBL-2201	<b>1406.</b> Acetylfentanyl M(HO-) TMS	MDMB-Bz-F
<b>1351.</b>	Termoliz TMCP-022	<b>1407.</b> Acetylfentanyl M(HO-, MeO-) Ac	MDMB-Bz-F
<b>1352.</b>	Termoliz TMCP-018	<b>1408.</b> Acetylfentanyl M(desacetyl-, HO-) 2PrO	AB-CHMINACA metabolite M1A
<b>1353.</b>	Termoliz UR-144F	<b>1409.</b> Acetylfentanyl M(HO-) isomer1 PrO	ADB-PINACA N-(4-hydroxypentyl) metabolite
<b>1354.</b>	Mephedrone	<b>1410.</b> Acetylfentanyl	ADB-PINACA N-(5-hydroxypentyl) metabolite
<b>1355.</b>	PB(N)-22		ADBICA N-(4-hydroxypentyl) metabolite
<b>1356.</b>	AM-2232		ADBICA N-(5-hydroxypentyl) metabolite
<b>1357.</b>	JWH-122F		454. ADBICA N-(4-hydroxypentyl) metabolite
<b>1358.</b>	QCBL(N)-2201		455. ADBICA N-(5-hydroxypentyl) metabolite
<b>1359.</b>	FUBIMINA		
<b>1360.</b>	FUBIMINA		
<b>1361.</b>	NM-018Cl		
<b>1362.</b>	NM-018MeO		
<b>1363.</b>	methyl 1-(pent-4-en-1-yl)-1H-indole-3-carboxylate		
<b>1364.</b>	methyl 1-(5-methoxypentyl)-1H-indole-		

- hydroxypentyl) metabolite
- 1456.** XLR11 6-hydroxyindole  
metabolite
- 1457.** MDMB(N)-Bz-F Marker  
TMS \$#\$ ADB-FUBINACA  
Marker TMS
- 1458.** MDMB(N)-FUB-M (COOH)  
TMS \$#\$ ADB-FUBINACA  
Marker TMS
- 1459.** MDMB(N)-Bz-F Marker PFP  
\$#\$ ADB-FUBINACA  
Marker PFP
- 1460.** ADB-FUBINACA
- 1461.** α-PBP
- 1462.** 1-phenyl-2-(pyrrolidin-1-yl)but-2-en-1-one
- 1463.** DMBA(N)-CHM
- 1464.** MDMB(N)-CHM
- 1465.** MMB(N)-Bz-F